







MEMOIRE POUR LØOBTENTION DU MASTER DØINGENIERIE DE LÆAU ET DE LÆNVIRONNEMENT OPTION : EAU

Présenté et soutenu publiquement le 28 juin 2013 par

DJANTENG WANDJI Caleb

Travaux dirigés par :

Dr. Eric HALLOT

Maître de Conférence ó Université de Liège, Belgique

M. Francis GUYON

Représentant de løAPEFE

Dr. Dial NIANG

Enseignant Chercheur au Centre de Recherche Eau et Climat

M. Sévère FOSSI

Ingénieur de Recherche au Centre de Recherche Eau et Climat

Jury dévaluation du stage :

Président : M. Adjadi MOUNIROU

Membres et correcteurs : M. Abdouramane GADO DJIBO

Mme Bernadette NKA NNOMO

Promotion 2012/2013

REMERCIEMENTS

Le présent document est le résumé de plusieurs actions combinées, dont nous mentionnerons particulièrement celles de nos encadreurs. Tout au long de la période de stage,

- M. Francis GUYON (représentant de løAPEFE dans le cadre du projet dénommé PADI) a particulièrement marqué notre attention par sa disponibilité et sa promptitude à répondre à nos inquiétudes. En cet encadreur, nous avons vu un désir de transmettre le savoir qui se traduisait par une facilité à donner de la documentation et du matériel nécessaire à løavancement du stage. Nous lui témoignons notre gratitude.
- Dr Eric HALLOT (enseignant-chercheur au Laboratoire døHydrographie et de Géomorphologie fluviatile de løUniversité de Liège en Belgique) pour tous ses commentaires et apports sur ce document.
- De même, nous remercions M. Sévère FOSSI (Ingénieur de recherche), co-encadreur. Ce dernier malgré son emploi de temps hyper saturé, a toujours su trouver du temps pour nous et a toujours réagi par rapport à nos inquiétudes émises et en nous programmant des pré-soutenances ; ce qui a facilité ainsi lévolution de nos travaux.
- Nous ne manquerons pas de remercier M. Dial NIANG (enseignant déhydrologie à 2iE), coencadreur de ce stage également. Il nota pas manqué de nous apporter également son expérience pour le bon déroulement de notre stage et la rédaction de ce mémoire qui en découle.
- Nos remerciements vont également à lændroit de M. SOME Corentin, enseignant-chercheur à 2iE qui a été un pilier pour nous en ce qui concernait les Systèmes døInformations Géographiques (SIG).
- Nous remercions M. Mohamadou TOROU pour son appui en ce qui concerne les outils de statistiques pour une meilleure interprétation de nos données.
- Nous ne manquerons pas de remercier M. Roland YONABA, Ingénieur en eau et assistant de recherches à 2iE, pour son aide dans løinstallation et la gestion de certains logiciels que nous avons utilisés.

RESUME

Lœxistence des cours dœau est fortement menacée de nos jours, notamment par lœrosion des berges, les aléas climatiques et les activités anthropiques. Les nombreuses fonctions des berges de ces cours dœau font quœil y a consensus quant à la nécessité de les protéger et les restaurer au besoin, car une fois les berges détériorées, les impacts se font sentir sur la faune et la flore, de même que sur læHomme et ses activités économiques. La détérioration des berges affectant plusieurs types dœactivités, il est important dædentifier concrètement quels sont les impacts réels dœune détérioration et de les quantifier, afin de pouvoir comparer des faits réels et ainsi justifier, la réalisation de travaux de protection des berges, ou juger si ces travaux ont été réalisés de manière satisfaisante.

Cette étude a porté sur le cours dœau en amont de la retenue de Mogtedo, dans la province du Ganzourgou au Burkina Faso. Sur les 18,8 km de longueur de ce cours dœau, les résultats révèlent : concernant le type de profil de berge, 52,19 % des berges ont un profil compris entre 70° et 90°, ce qui montre que les berges ont été érodées pendant les crues (G. Degoute). En ce qui concerne la dynamique des berges, 64.06 % de celles-ci sont instables. Pour ce qui est de la végétation des berges, 71.56 % sont dénudées et à propos du type de matériaux, 87.5% des berges ont de lærgile pour matériau principal. Des solutions-types ont été proposées pour lutter contre lærosion des berges, en læccurrence des réaménagements. Toutefois, une étude détaillée de læmpact environnemental devra être réalisée au préalable.

Mots-clés:

- 1- Barrage
- 2- Cours deau
- 3- Erosion
- 4- Mogtedo
- 5- Burkina Faso

ABSTRACT

The existence of watercourses is largely threatened today, including bank erosion, climatic variations and human activities. The many functions of banks of these rivers reveal the need to protect and restore these banks if necessary, because once they are deteriorated, the impacts are felt on the fauna and flora, well as human and economic activities. The deterioration of banks affecting several types of activities, it is important to identify specifically what are the real impacts of damage and to quantify, in order to compare the actual facts and thus justify the execution of works, or judge if the work was completed satisfactorily.

This study focused on the river upstream of the retaining dam of Mogtedo in the province Ganzourgou, Burkina Faso. Of the 18.8 km length of the river, the results show that: on the profile type of bank, 52.19% of the banks have a profile between 70 ° and 90 °, indicating that the banks have been eroded during floods (G. Degoute). Regarding the dynamics of banks, 64.06% of them are unstable. In terms of riparian vegetation, 71.56% are bare and about the type of materials, 87.5% of the banks have clay as main material. The standard solutions have been proposed to fight against the erosion of banks, namely readjustments. However, a detailed study of the environmental impact must be made beforehand.

Keywords:

- 1- Dam
- 2- watercourse
- 3- Erosion
- 4- Mogtedo
- 5- Burkina Faso

QUELQUES DEFINITIONS

- **Barrage**: Un barrage est un mur érigé au travers doun cours doeau et destiné à bloquer dans une cuvette toute ou partie des eaux de ruissellement du bassin versant pour constituer une retenue doeau temporaire ou pérenne à usage multiple ou spécifique.
- **Bassin versant**: Le bassin versant en une section considérée døun cours dœau est défini comme la totalité de la surface topographique drainée par ce cours dœau et des affluents à løamont de ladite section Tous les écoulements prenant naissance à løintérieur de cette surface doivent traverser la section considérée. pour poursuivre leur trajet vers løaval.
- Berges: Bord døin cours døeau, il est la zone tampon entre le lit mineur døin cours døeau et la plaine alluviale.
 Bande de terre qui borde un cours døeau ou une étendue døeau (Le petit Larousse illustré,

2006).

- **Erosion**: Processus physique et chimique naturel par lequel le sol et les roches de la croûte terrestre sont constamment soumis à une abrasion et à une corrosion. La majeure partie de lérosion provient des actions combinées de différents facteurs comme la chaleur, le froid, les gaz, le vent, la gravité et la vie végétale.
- **Lit** : Chenal creusé par un cours dœau et dans lequel il sœcoule.
- Site : Dans ce contexte, le site est une portion délimitée entre deux points de lœchantillonnage. Celle-ci sœtend sur 15 à 20 fois la largeur du cours dœau moyen entre ces deux points.
- Végétaux : Plantes (êtres vivant caractérisés par une très faible motilité) qui se nourrit de substances minérales et absorbe du gaz carbonique.
- **Végétation** : Ensemble des végétaux.

SIGLES ET ABBREVIATIONS

2iE : Institut International dølngénierie de løEau et de løEnvironnement

APEFE: Association pour la Promotion de løEducation et la Formation à løEtranger

CDI: Centre de Documentation Interne

INSD: Institut National de la Statistique et de la Démographie

MNT: Modèle Numérique de Terrain

NPK: Azote-Potassium-Phosphore

PADI: Programme døAppui au Développement de løIrrigation

PVC: Polychlorure de Vinyle

SIG: Système døInformation Géographique

WAIPRO: West African Irrigation Project

TABLE DES MATIERES

REMER	RCIEMENTS	i
RESUM	ИЕ	ii
ABSTR	RACT	iv
QUELQ	QUES DEFINITIONS	V
SIGLES	S ET ABBREVIATIONS	v
TABLE	E DES MATIERES	vi
LISTE I	DES TABLEAUX	i)
LISTE I	DES FIGURES	х
INTRO	DUCTION GENERALE	11
PROBL	EMATIQUE	12
CONTE	EXTE DE LA RECHERCHE	13
OBJEC'	TIFS DE RECHERCHE	13
PREMI	ERE PARTIE : GENERALITES	14
I-1. P	Présentation de la zone détude	14
a)	Situation géographique	14
b)	Climat et végétation	15
c)	Hydrographie	16
d)	Aspect socio-culturel	18
I-2. A	Aménagements hydro-agricoles	18
a-	Le barrage	18
b-	Aménagements	20
I-3. A	Activités principalement menées	20
a-	Irrigation	20
b-	Elevage	22
c-	Activités minières	22
I-4 R	evue de littérature	22
DEUXI	EME PARTIE : MATERIELS ET METHODES	27
Chapitre	e I : Matériels	27
Chapitre	e II : Méthode	28
II-1 L	_øéchantillonnage	29
II-2 R	Reconnaissance du site	35

II-3 Choix des variables détude	35
II-4 Mode de collecte des données	38
II-5 Méthode de traitement de données	38
TROISIEME PARTIE : RESULTATS ET ANALYSES	39
Chapitre III: RESULTATS	39
Chapitre IV : INTERPRETATION ET ANALYSES	49
RECOMMANDATIONS	44
CONCLUSION	48
BIBLIOGRAPHIE	49
ANNEXES	

LISTE DES TABLEAUX

Tableau 1: Localités incluses dans le bassin versant de Mogtedo	17
Tableau 2: spécificités culturales et saisons de cultures. Source : Francine KI et al. ETUDE	
DIAGNOSTIQUE DE LA GESTION DU BARRAGE DE MOGTEDO)	20
Tableau 3: Limitations de l'angle de la pente sur l'établissement de la végétation (proposé par Paul Truc	ong
et al, 2009)	24
Tableau 4: Récapitulatif des techniques	26
Tableau 5: Coordonnées des points choisis du réseau.	33
Tableau 6: Variables hydromorphologiques considérées influent sur lérosion des berges	35
Tableau 7: Remplissage de la Grille d'interprétation pour l'indice de stabilité du cours d'eau en amont de	e la
retenue de Mogtedo	39
Tableau 8: Récapitulatif des indices	40
Tableau 9: Pentes moyennes calculées	48
Tableau 10: Classification du canal en fonction de l'indice de stabilité (Méo 2003)	49
Tableau 11: Classement selon la typologie des cours d'eau (ROSGEN;1996)	49
Tableau 12: Classification des sites par priorité d'intervention	39
Tableau 13: Bilan de nos propositions	40
Tableau 14: Pourcentages des types de profil des berges du cours d'eau principal en amont de la retenu	e de
Mogtedo	II
Tableau 15:Pourcentages des types de dynamique des berges du cours d'eau principal en amont de la	
retenue de Mogtedo	II
Tableau 16:Pourcentages des types de végétation des berges du cours d'eau principal en amont de la	
retenue de Mogtedo	III
Tableau 17: Types de matériaux des berges du cours d'eau principal en amont de la retenue de Mogtedo	o. III
Tableau 18: Itinéraire suivi le long du cours d'eau principal en amont de la retenue de Mogtedo	IV
Tableau 19: Effets physiques généraux de la végétation sur la stabilité des pentes	VI
Tableau 20: Diamètre et force ductile de la racine de différentes herbes	VI

LISTE DES FIGURES

Figure 1: Localisation de département de Mogtedo au Burkina Faso	14
Figure 2: Pluviométrie moyenne annuelle de 2006 à 2011.	15
Figure 3: Réseau hydrographique du bassin versant du Bomboré	16
Figure 4:Quelques photos du barrage de Mogtedo. Source: Caleb DJANTENG, février 2013	
Figure 5: Parcelle irriguée par le barrage de Mogtedo. Source: Caleb DJANTENG février 2013	21
Figure 7: Etape 1 sur ArcGIS 10	30
Figure 8: Etape 3 sur ArcGIS 10	31
Figure 9: Etape 4 sur ArcGIS 10	32
Figure 10: Etape 5 sur ArcGIS 10	32
Figure 11: Echantillonnage du cours d'eau à étudier	34
Figure 12: Exemple de profil incliné de 70 -90°	41
Figure 13: Exemple de berge verticale instable	42
Figure 14: Exemple de segment de cours d'eau où le sol des berges est nu	43
Figure 15: Proposition de solution profil-type1, source : ÉTUDE SUR L'ÉROSION DES RIVES DES RIVIÈRES	
	42
Figure 16:Proposition de solution profil-type 2, source : ÉTUDE SUR L'ÉROSION DES RIVES DES RIVIÈRES	
LORETTE ET DU CAP ROUGE	43
Figure 17: Photo du site 28-A, rive gauche. Source: Caleb DJANTENG février 2013	. VII
Figure 18: Photo du site 31-A rive gauche. Source: Caleb DJANTENG février 2013	. VII
Figure 19: Photo de la manifestation de l'érosion sur un ponceau. Source: Caleb DJANTENG février 2013	
Figure 20: Photo du site 31-A rive gauche. Source: Caleb DJANTENG février 2013	VIII
Figure 21: Forme du cours d'eau à l'approche du barrage. Source: Caleb DJANTENG février 2013	IX
Figure 22: Cours d'eau à l'approche du barrage. Source: Caleb DJANTENG février 2013	IX
Figure 23: les racines de vétiver renforcent ce barrage ont empêché quœ soit emporté par les crues	s.X

INTRODUCTION GENERALE

Les besoins en eau sont de plus en plus importants au fur et à mesure que les années passent. Le importance de cette ressource naturelle qui parfois ne répond pas aux attentes des populations qui la sollicitent, ne plus à démontrer. La non maîtrise de cette ressource peut-être due aux conditions naturelles, mais parfois aussi aux activités anthropiques. Au Sahel, pendant la longue saison sèche, les populations sont amenées à rechercher de le au pour différents besoins (irrigation, eau potable, élevage). Une solution à cette situation est la réalisation de plus de passent.

Réaliser un barrage cœst bien, mais ce nœst pas toujours suffisant. Il doit être entretenu et préservé de phénomènes indésirables comme lærosion des berges du cours dæau en amont de celui-ci. Pour ce faire, il est fondamental de maitriser la zone dætude, ainsi que les paramètres qui de près ou de loin affectent løouvrage.

Plusieurs travaux ont déjà été réalisés sur le barrage de Mogtédo. Nous pouvons entre autres citer le projet WAIPRO (West African Irrigation Project) qui a travaillé sur « løETUDE DIAGNOSTIQUE DE LA GESTION DU BARRAGE DE MOGTEDO ». Réalisé en 2010, ce travail relate les pratiques tout autour du barrage de Mogtedo.

Dans le cadre spécifique de ce travail, nous nous sommes intéressés à « lætude hydromorphologique du cours dæau en amont de la retenue de Mogtedo ». Dans un premier temps, nous avons fait un diagnostic de lætat des berges (notamment sur lærosion) et avons ensuite proposé un protocole pour la protection de ces berges. Ce document rapporte les grands éléments de notre travail.

PROBLEMATIQUE

Les berges de plusieurs cours dœau à lœchelle mondiale présentent des phénomènes de dégradation accélérée. Les causes avancées pour expliquer l'ampleur de l'érosion sur ces berges sont variées et souvent discutables.

Du point de vue spatial, elles peuvent être locales ou régionales alors que, chronologiquement, elles peuvent être récentes ou liées à des phénomènes s'étendant sur des millénaires. Les changements climatiques régionaux, les tempêtes, les variations du niveau relatif de la mer, la variation des apports sédimentaires naturels sur les côtes et les actions humaines constituent les principales causes associées à l'érosion des berges (cf. <u>Erosion des berges</u>).

Les conséquences économiques et sociales de l'érosion des berges peuvent être importantes dans de nombreux cas. Elle peut même provoquer le déplacement d'une collectivité toute entière dans des cas extrêmes. On note la perte de terrains et de biens pouvant être assez graves également. La faune et la flore peuvent être affectées, de même que løhumain et ses activités récréatives et économiques.

Concernant la retenue de Mogtedo, cette érosion déforme le cours dœau qui lœalimente, faisant ainsi reculer progressivement les berges chaque année. Comme conséquence, lœrosion des berges mène à une non maitrise des quantités dœau qui sont ainsi perdues et pourrait malheureusement influencer le disponible en eau pour lørrigation en aval.

La problématique de légrosion des berges nœst une réalité dont le impact serait mineur. Au contraire, elle peut avoir de grandes répercussions lorsquéen regarde tous les aspects affectés, depuis les besoins vitaux de le Homme à légquilibre environnemental.

CONTEXTE DE LA RECHERCHE

Cette recherche entre dans le cadre du Programme de la DADI intitulé « Programme døAppui au Développement de lørrigation 2011 ó 2013 » impliquant løAssociation pour la Promotion de løEducation et de la Formation à løEtranger (APEFE). Ce programme est composé de 4 résultats de programme dont løun vise à mettre à la disposition de la DADI, de løAgence de løEau du Nakanbé (AEN) et des DRAH du Centre, du Centre Sud et du Plateau Central des outils opérationnels de protection des retenues døau dørrigation. Ce résultat de programme, plus communément dénommé PAPRI (Projet døAppui à la Protection des Retenues døau dørrigation), søappuie sur une approche de type recherche / développement impliquant également deux partenaires wallons : la Direction des Cours døau non Navigables (DCENN) du Service Public de Wallonie et le Laboratoire døHydrographie et de Géomorphologie Fluviatile de løUniversité de Liège (ULg). Il vise principalement le développement døoutils døaide à la décision pour la limitation de la sédimentation des retenues døau à travers løaménagement des terres et des berges des cours døau à løéchelle des bassins versants alimentant les retenues.

OBJECTIFS DE RECHERCHE

La retenue dœau de Mogtedo risque de perdre ses capacités de rétention, cœst la problématique qui justifie nos travaux. Le long du cours dœau en amont, on observe une érosion des berges progressive et importante. Etant donné que le dysfonctionnement du barrage créera des pénuries en ce qui concerne les quantités dœau nécessaires pour lørrigation des cultures, il est impératif de søintéresser à cette érosion pour éviter ou réduire les situations de comblement de retenue et de pénurie dœau, døoù løobjectif de notre recherche qui est de réaliser lætude hydromorphologique du cours dœau en amont de la retenue de Mogtedo. Ici nous avons été appelés à inventorier les différentes dégradations des berges et proposer un dispositif de suivi de lærosion de celles-ci.

PREMIERE PARTIE: GENERALITES

I-1. Présentation de la zone døétude

a) Situation géographique

Dans la région du plateau central du Burkina Faso, plus précisément dans la province du Ganzourgou, Mogtédo est un village situé à 80 km à læst de Ouagadougou. Døune population de 15 076 habitants, le département dont il est administrativement dépendant porte également le nom de Mogtédo et comprend huit (08) autres villages. Mogtedo (village) quant à lui regorge 4 445 habitants (source : Wikipédia 2013).

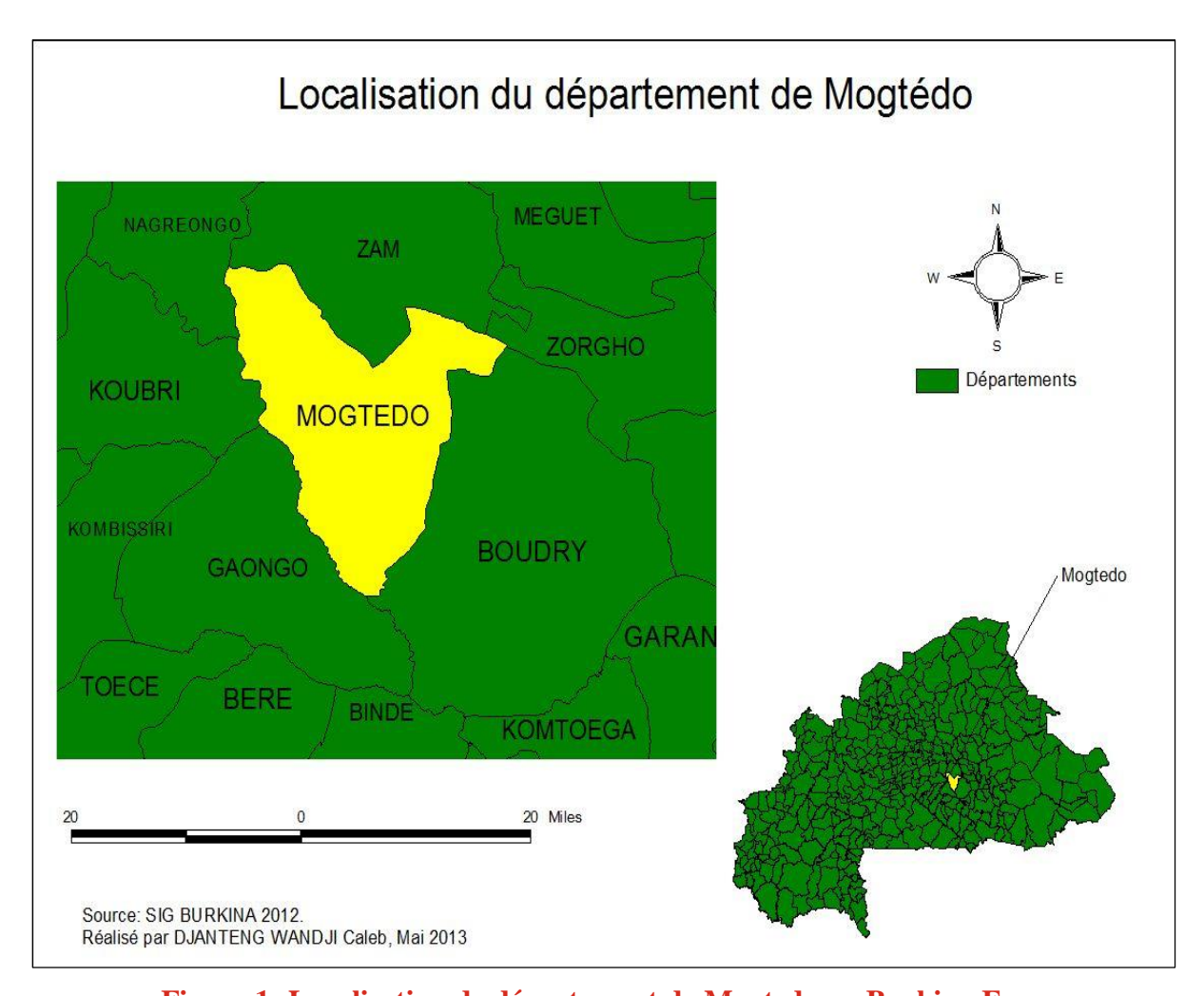


Figure 1: Localisation de département de Mogtedo au Burkina Faso

Døun point de vue géologique, au droit du site, on peut évoquer des affleurements volcanosédimentaires avec secteurs à prédominance de métavolcanites sur fond de migmatites.

b) Climat et végétation

Le climat de Mogtedo est un climat à caractère très contrasté semblable à celui de la zone nord soudanienne. Il est caractérisé par une saison sèche longue et une saison de pluies relativement courte avec des pluies souvent violentes.

La végétation est fortement dégradée par løHomme (feux de brousse assez fréquents) et des défrichements. On note aussi une faible densité døarbres à Mogtédo. Løessentiel de la savane arbustive se trouve au Sud-Est et au centre Centre-Est du bassin versant. Les zones de cultures importantes et les habitations concentrées se situent le long des cours døau principaux.

La pluviométrie moyenne annuelle à Mogtédo qui appartient à la zone du plateau central est comprise entre 600 mm et 900 mm.

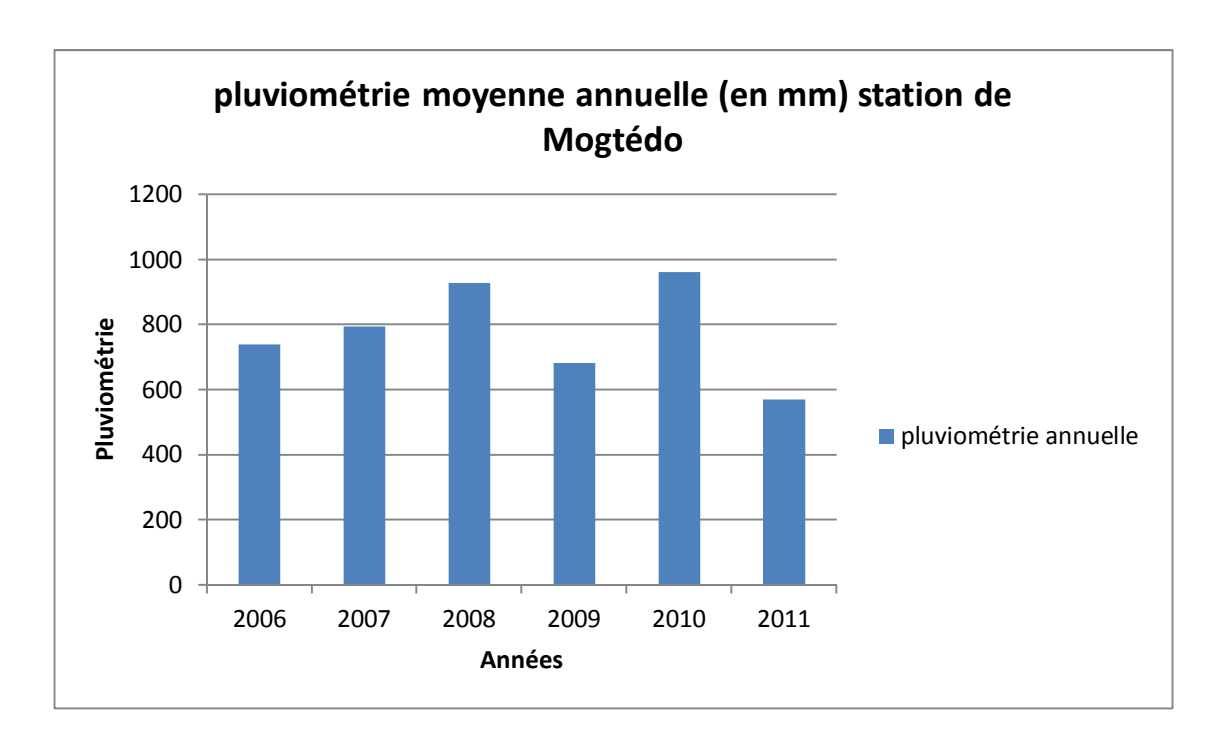


Figure 2: Pluviométrie moyenne annuelle de 2006 à 2011.

c) Hydrographie

Le cours dœau alimentant la retenue de Mogtedo appartient au réseau hydrographique représenté sur la figure 3.

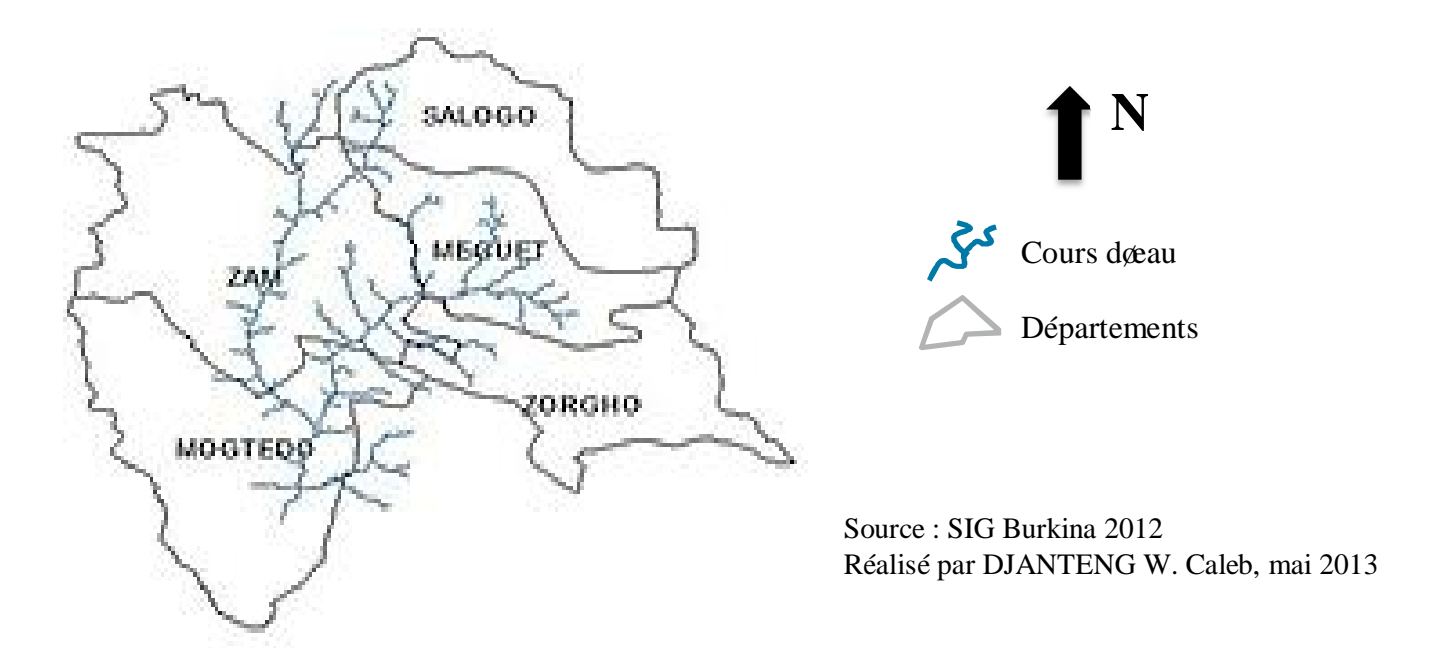


Figure 3: Réseau hydrographique du bassin versant du Bomboré

> La surface (S) du bassin versant

Le bassin versant topographique dont le barrage de Mogtedo est l α exutoire présente une surface $S = 477 \text{ km}^2$.

➤ Le périmètre (P)

Le pourtour du bassin versant est P = 93 km.

▶ Løindice de compacité (Icomp)

Appelé aussi coefficient de forme, il correspond au rapport du périmètre du bassin à celui dœun cercle de même superficie.

Icomp = 0,282. P. S^{-1/2},

où P est le périmètre du bassin exprimé en km et S la superficie du bassin exprimée en km². Icomp = 1, 20.

La longueur du rectangle équivalent (L)

Cøest le rectangle qui a la même surface, le même indice de compacité et la même distribution hypsométrique que le bassin versant. Sa longueur est donnée par læxpression :

 $L = S^{0.5} (Icomp / 1,128). (1 + (1 \lefta (1,128 / Icomp)^2)^{0.5}),$

où L est exprimé en km, Icomp est l'indice de compacité sans dimension et S est la superficie du bassin versant exprimée en km².

L = 32,23 km.

> La densité de drainage (Dd)

Cøest le rapport à la surface døun bassin versant, de la longueur totale des cours dœau de tous ordres.

 $Dd = \hat{U} Li / S$,

où Li est exprimé en km et S en km2.

 $Dd = 1.014 \text{ km/ km}^2$.

Dans le tableau ci-dessous, nous avons mentionné les localités qui font partie de ce bassin versant.

Tableau 1: Localités incluses dans le bassin versant de Mogtedo

PROVINCES	DEPARTEMENTS	LOCALITES
GANZOURGOU	MEGUET	Boulwando
GANZOURGOU	MEGUET	Fatmatinga
GANZOURGOU	MEGUET	MEGUET
GANZOURGOU	MEGUET	Tibin
GANZOURGOU	MEGUET	Koulweogo
GANZOURGOU	MEGUET	Dazanre
GANZOURGOU	MEGUET	Ouavousse
GANZOURGOU	MEGUET	Bolle
GANZOURGOU	MEGUET	Tanghin
GANZOURGOU	MEGUET	Kabouda

PROVINCES	DEPARTEMENTS	LOCALITES
GANZOURGOU	ZAM	Dassimpouigo
GANZOURGOU	ZAM	Zam
GANZOURGOU	ZAM	Kieglesse
GANZOURGOU	ZAM	Song-Naba
GANZOURGOU	ZAM	Yargho
GANZOURGOU	ZHORGO	Kourgou
GANZOURGOU	ZHORGO	Yougloumande
GANZOURGOU	ZHORGO	Bissiga
GANZOURGOU	ZHORGO	Zempassogo

d) Aspect socio-culturel

La commune de Mogtédo est la troisième de la province en termes dœffectif de la population. Elle regroupe ainsi 7,1% de la population provinciale totale. Plus de 70% de la population possède un acte de naissance. (Source : Monographie de la région du plateau central, novembre 2009).

I-2. Aménagements hydro-agricoles

a- Le barrage

Il existe un barrage compacté døune longueur de 2 600 m et døune hauteur maximale de 5m. Ce barrage est doté døun déversoir latéral de 650m de long. Sa capacité a été estimée lors de sa conception à 6 580 000 m³ (SOGETHA, 1964).

La digue est géographiquement localisée sur le parallèle 00°50øOuest et le méridien 12°11øNord à une altitude de 272 m au-dessus du niveau de la mer (SOME et al. 2008).

Il est la principale source dœau pour les activités socio-économiques des populations de Mogtédo et alentours.





Figure 4: Quelques photos du barrage de Mogtedo. Source: Caleb DJANTENG, février 2013

Le barrage de Mogtedo est situé à cheval entre les communes rurales de Zam et de Mogtédo et à 3 kilomètres au nord de cette dernière. Construit en 1963, il avait les caractéristiques suivantes (Hilmy S. et al. 1997):

- superficie du bassin versant: 478 km²;
- volume brut du barrage : 6 580 000 m³;
- longueur de la digue : 2 600 m;
- largeur en crête de la digue : 3,5 m;
- longueur et nature du déversoir : 650 m en béton cyclopéen
- position du déversoir : déversoir latéral ;
- type et nombre de prise dœau : 2 prises dœau en tour ;
- tranche d\(\phi \) eau exploitable : 2,83m (RG) ; 2,96m (RD).

Toutefois, ces caractéristiques ont été modifiées avec le temps. En 2007 (soit 44 ans après), le BEM réalise une étude en vue de la réhabilitation du barrage. Il estime le volume à cette date du barrage à 4 657 000 m³. La comparaison de ces deux situations montre une nette variation du volume à la baisse du barrage de plus de 1 900 000 m³ due à lœnvasement de la retenue (soit une perte de 30%) de sa capacité.

b- Aménagements

Trois types døaménagement sont distingués autour du barrage selon (BEM, 2007) :

- le périmètre aménagé légal à lœaval du barrage qui sœétend sur une superficie de 130 ha ;
- les aménagements pirates toujours à lœuval du barrage dœnviron 90 ha de superficies qui prélèvent illégalement les eaux du réseau ;
- les périmètres informels à løamont du barrage qui couvrent une superficie de 170 ha dont plus de 100 ha sur la rive gauche.

Un aménagement rizicole a été créé en aval du périmètre et la première mise en exploitation date de 1967 avec 74 ha sur la rive gauche et 19 ha sur la rive droite. On note deux campagnes de production dont une en saison sèche (novembre à mars) et une autre de saison pluviale (juin à octobre). En 1996, 123 ha ont été mis en valeur dont 93 ha formels et 30 ha spontanés (Hilmy S. et al. 1997).

I-3. Activités principalement menées

a- Irrigation

Løactivité la plus importante autour du barrage de Mogtédo est løirrigation. Elle concerne la riziculture et le maraîchage. Les produits maraîchers sont løoignon, le piment, løaubergine, le chou, le gombo, la tomate, la courgette, le concombre, la carotte, etc. Løirrigation est ainsi løusage qui utilise le plus døeau. On a deux campagnes de production dont une en saison sèche (novembre à mars) et une autre de saison pluviale (juin à octobre).

Tableau 2: spécificités culturales et saisons de cultures. Source : Francine KI et al. <u>ETUDE</u> <u>DIAGNOSTIQUE DE LA GESTION DU BARRAGE DE MOGTEDO</u>).

Saison sèche	Saison pluviale
choux	Riz
Oignon	Mais
Tomate	Sorgho blanc
Aubergine (importée et locale)	Sorgho rouge
Gombo	Petit mil
Piment	Niébé
Maïs frais	

En aval de la retenue, nous avons photographié une des parcelles irriguées.



Figure 5: Parcelle irriguée par le barrage de Mogtedo. Source: Caleb DJANTENG février 2013

A Mogtédo, un périmètre de plus de 100 ha irrigué de façon gravitaire a été aménagé en aval peu après la construction du réservoir. Cœst une plaine rizicole avec des parcelles de 0,20 ha, 0,25 ha et 0,50 ha. La plaine compte 378 exploitants (Statistique de 2010, Francine KI et al. <u>ETUDE DIAGNOSTIQUE DE LA GESTION DU BARRAGE DE MOGTEDO</u>). Hors du périmètre, environ 500 irrigants exploitent des parcelles non aménagées avec des motopompes et des tuyaux PVC comme matériels dœxhaure. Les producteurs de la plaine peuvent bénéficier des prix subventionnés des engrais (NPK et urée) auprès de la coopérative. Par contre les producteurs informels peuvent sœxpprovisionner mais sans aucune subvention.

Depuis 2006 le barrage arrive à sec avant la fin de la campagne irriguée, et la vitesse varie encore døannée en année. En 2012, les agriculteurs craignaient ce manque dœau déjà très tôt, et ne voulaient pas prendre le risque ; ils ont donc laissé leurs champs en jachère. Comme la pluviométrie de 2012 a été abondante et que le barrage a été bien rempli, une plus grande occupation pour la campagne irriguée de 2013 est attendue. (Source : Recensement hydro-agricole Mogtedo -Mars 2012).

b- Elevage

Døaprès le Président du groupement des éleveurs de Mogtédo, peu døéleveurs abreuvent leurs animaux au niveau du réservoir. Løensemble du bétail søélève à près de 35 000 têtes avec environ 500 éleveurs. Avec le développement de løirrigation, les animaux accèdent difficilement au réservoir parce quøil nøy a pas de voies døaccès. Les éleveurs qui abreuvent vraiment leurs animaux au niveau du réservoir ne le font que pendant 3 mois (de Décembre à Février).

En saison sèche la plupart des éleveurs creusent des puits pour abreuver leurs animaux et en saison humide ils conduisent le bétail aux bords des marigots ou larges flaques dœau. Ils ne parcourent pas plus de 3 à 4 km pour abreuver leur bétail. (Source : Francine KI et al. <u>ETUDE DIAGNOSTIQUE</u> DE LA GESTION DU BARRAGE DE MOGTEDO).

c- Activités minières

Lors de notre descente sur le terrain, nous avons constaté quøil existe une exploitation minière aux alentours de notre zone døétude. Par endroit, nous pouvions remarquer des installations døorpailleurs et voire quelques fois des femmes à la quête de løor.

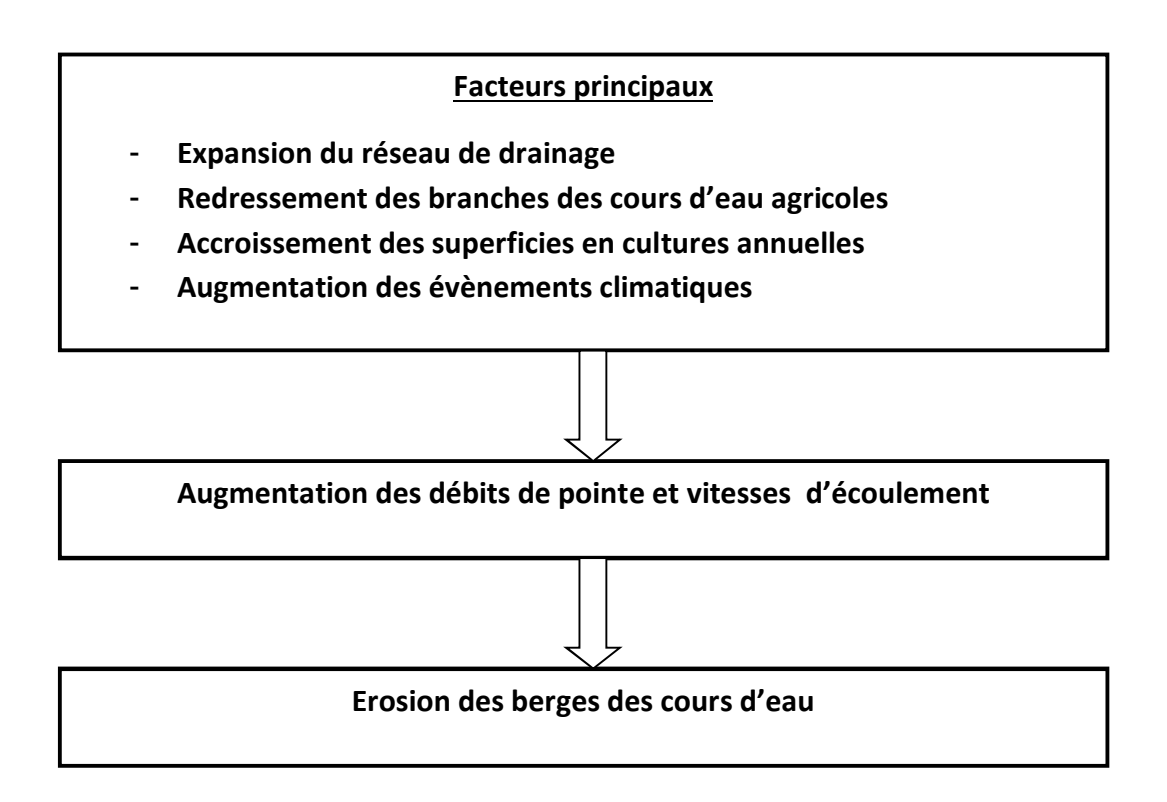
I-4 Revue de littérature

Cette partie a été consacrée à la recherche des documents relatifs à notre étude. Elle sœst effectuée principalement grâce à loutil internet et au Centre de Documentation Interne (CDI) de la Fondation 2iE. Plusieurs documents et revues ont été consultés.

De prime abord, nous pouvons dire que plusieurs écrits sur léérosion des berges sont disponibles. Toutefois, les cas défrosion des berges étant rencontrés un peu partout, ils ne sont pas gérés de la même manière et de ce fait, les solutions à apporter pour protéger ou restaurer les berges des cours décau de cette érosion ne sont pas forcément standardisables.

a- Conception générale sur lérosion des berges

De manière générale, les paramètres aboutissant à légrosion des berges des cours dégau sont organisés tel que présenté ci-dessous.



b- Facteurs influents de lérosion des berges

La pente du lit, la direction du courant, løampleur du débit de pointe, la présence døbstacles dans le lit du cours dœau, la forme des talus, la couverture végétale et la résistance du sol en rive sont autant de facteurs qui doivent être pris en compte dans le cadre døun diagnostic complet des sites à restaurer visant à sélectionner les travaux de corrections appropriés.

c- Principales causes de lérosion des berges

Au cours du dernier siècle, l'exploitation des ressources naturelles et l'augmentation de la demande énergétique a nécessité la construction de barrages sur de nombreux cours d'eau de la Côte-Nord. L'impact de ces barrages sur le milieu côtier n'est pas à négliger. En effet, les barrages régularisent le débit des rivières, ce qui diminue l'érosion des berges en aval des ouvrages pendant les crues. De plus, leur réservoir forme un énorme piège à sédiments, de sorte que la charge sédimentaire pouvant alimenter les plages à l'embouchure des cours d'eau harnachés se trouve réduite. La présence de barrages sur les cours dœau affluents au fleuve a aussi un effet sur la zone côtière. Les débits réduits des cours dœau à lœaval des barrages permettent à lœau du fleuve de pénétrer de façon plus

importante dans ces cours dœau ce qui engendre plus dœrosion côtière de ces rivières lors des tempêtes. De plus, les barrages bloquent lœcoulement normal des sédiments qui servaient auparavant à alimenter les plages le long du fleuve (Bernatchez, Dubois, 2004). Il søagit donc encore døun facteur qui fait reculer les plages et contribue à leur disparition.

d- Solutions possibles contre lérosion des berges

Nous avons essayé de les classer comme nous le présente le tableau 12 plus loin, avec les conditions déutilisation qui correspondent au mieux pour des résultats attendus.

d.1- Végétalisation

La végétalisation seule a løavantage døêtre

- une technique simple qui peut être réalisée par une main do uvre non spécialisée. Même le concept doune végétalisation peut être défini par un particulier sans notions spécifiques, à loaide des diverses publications disponibles.
- ne requière pas løutilisation de machinerie lourde, à moins que la pente doive être adoucie.
- méthode peu coûteuse, car contrairement au génie végétal, il nøy a pas døautres manipulations à faire que de planter les végétaux.

Tableau 3: Limitations de l'angle de la pente sur l'établissement de la végétation (proposé par Paul Truong et al, 2009)

Pente angle	Type de végétation			
(degrés)	Herbe	Arbrisseaux/arbres		
0 6 30	Facile à planter ; les techniques habituelles de plantation peuvent être utilisées	Facile à planter ; les techniques habituelles de plantation s peuvent être utilisées		
30 ó 45	De plus en plus difficile pour des repousses ou du turf Grass; application habituelle pour l'hydro ensemencement	De plus en plus difficile à planter		
> 45	Exige des considérations spéciales	Plantation sur banquettes préétabli		

d.2 - Enrochement

Elle est simple la mise en place dœnrochement. Elle consiste à :

- Placer des blocs de roche le long de la pente, en réalisant un ancrage en bas de pente.
- Placer derrière lænrochement un géotextile pour éviter la perte de sol à travers lænrochement.

La grosseur des blocs de roche peut être dimensionnée selon la force attendue des vagues. Lænrochement peut difficilement être végété. Par contre, lænrochement peut facilement être utilisé en combinaison avec une autre méthode, lorsquøil est placé comme ancrage sous le niveau døétiage et dans la partie basse de la pente. Le reste de la berge peut alors être végété.

d.3 Murets de blocs de béton

Un muret est une construction verticale en bloc, béton ou pierre qui est faite

- immédiatement en pied de talus.
- løarrière du muret doit être remblayé.

Cette méthode coûteuse élimine complètement løhabitat riverain, accroît le ruissellement et participe au réchauffement de læau (Corporation bassin versant baie Missisiquoi, 2008).

d.4 Gabions

Les méthodes présentées ci-après sont des méthodes artificielles ayant lœvantage dœre conçues pour que de la végétation y soit insérée.

- Les gabions sont des armatures de métal en forme de cube dans lesquelles de lænrochement est placé. Les cubes peuvent donc être agencés de façon à søadapter à la pente de berge voulue. Les gabions ont løavantage de pouvoir être végétés, puisque leur structure contient environ 30% de vides dans lesquelles la végétation pourra søinstaller.
- Des boutures peuvent aussi y être placées. Le fabriquant Maccaferri propose une version Green Gabion® où le gabion est de forme trapézoïdale et dans lequel løarmature est pourvue døun matelas de fibre de noix de coco sur la face extérieure, et est remplie døenrochement et de terre végétale (Maccaferri, 2009). Tout ceci favorise la reprise de la végétation. Les gabions, étant constitués døenrochement, sont efficaces pour les cas døérosion sévère et les forts courants.
- Un autre produit similaire utilise plutôt un quadrillage de polyéthylène dans lequel le sol est placé ce qui renforce la pente et permet la prise de végétation herbacée (Terrafix Geosynthetics Inc., s.d.).

d.5 Matelas de béton

Le matelas de béton consiste à un assemblage de blocs de béton qui forme un matelas dœnviron 6 m x 2,5 m pouvant être mis en place à lœuide dœune pelle mécanique. Lœuvantage de cette méthode est que le béton est très résistant à lœuvesion et particulièrement aux effets du batillage, et que de la végétation herbacée peut sæinstaller à partir de terre placée dans les trous de chaque bloc de béton, jusquœu en cacher complètement la vue (Armortec, 2004).

Tableau 4: Récapitulatif des techniques

NOM	CONDITION DOUTILISATION	EXPERTIS E REQUISE	PROVENANCE DES MATERIAUX REQUIS	OUTILS ET MACHINERIE REQUIS
Végétalisation	Vitesse døécoulement faible	Non	Végétaux, prélevés sur le site ou pépinière	Outil de jardinage, pas de machinerie
Enrochements	Érosion sévère, batillage	Oui	Enrochement, géotextile	Machinerie lourde
Murets de blocs de béton	Pente abrupte, érosion sévère	Oui	Béton, matériaux granulaire, géotextile	Machinerie lourde
Gabions	Érosion forte, pente abrupte	Oui	Gabion, enrochement, géotextile	Machinerie lourde
Matelas de béton	Érosion forte, batillage, pente moyenne	Oui	Matelas de béton, géotextile	Machinerie lourde

e- Quelques cas de cours dœau étudiés.

Nous avons consultés les résultats des études menées sur certains cours dœau notamment la rivière de Cap rouge (parc Champigny) sur 425 m de long, la rivière de la Lorette (parc Frénélon-Frenette) sur 397m, avons aussi entre plusieurs autres consulté le manuel de gestion des eaux pluviales de lœtat du Maryland (MDE, 2000). Nous avons également des documents fournis par lœuniversité Louis Pasteur (Strasbourg) sur les travaux en rapport avec lœrosion des berges.

Pour ces cas, un enrochement a été apporté comme solution.

Quelques affluents du fleuve Niger ont également été étudiés, dans la commune rurale du Fakala au Mali. Notamment les sites Montorobougou, Diaba Allaye et Sofara dont les noms des cours dœau et leur longueur considérée en mètre linéaires sont respectivement Bani, 1 200ml; Yamé, 2 110 ml et Yamé, 6 087 ml. Pour les berges de ces rivières, une végétalisation a été proposée, la technique du système Vétiver.

DEUXIEME PARTIE: MATERIELS ET METHODES

Chapitre I : Matériels

Pour mener à bien nos travaux, nous nous sommes servis :

- **Døun GPS** (**Garmin 60**): celui-ci a servis principalement à repérer les points de løéchantillonnage que nous avions précédemment définis;
- **Døun niveau** : Nous løutilisions pour relever les côtes terrains et déduire certains paramètres (tels que la pente du terrain) ;

Cet appareil nous donnait les hauteurs et les différences de hauteur une fois les visées faites.

- Des fiches de terrain: Celles-ci nous permettaient de consigner de manière très simple et ordonnée les informations prises une fois sur le terrain. (Voir modèle en annexe). En outre, nous nous sommes servis de certains logiciels tels que ArcGIS9.3, Arcview3.2a, Excel, Mapsource, Leica sprinter, Tanagra (logiciel de statistiques).
- **Døun appareil photo**: Pour mieux illustrer nos travaux, nous avons pris quelques photos.
- Døune moto: Une fois sur le terrain, nous avons loué une moto pour nous déplacer sur les longues distances (notamment les distances entre deux tronçons døétude prédéfinis du cours døeau).
- Logiciels utilisés: nous avons utilisés Excel (pour élaborer la fiche synthèse et faire quelques traitements), Mapsource (notamment pour importer et exporter après traitement les informations obtenues du GPS). Nous avons également utilisé le logiciel TANAGRA pour analyser les données et interpréter les résultats.
- **Données** : Celles-ci nous ont été fournies par le Ministère de løHydraulique notamment le Modèle Numérique de Terrain et par løInstitut National de la Statistique et de la Démographie døune part (INSD) notamment la monographie du plateau central.

Chapitre II: Méthode

LÆtude hydromorphologique døun cours døeau peut se faire par plusieurs méthodes. Parmi ces méthodes, nous pouvons citer :

- La méthode (ou outil) QUALPHY : Cette méthode, beaucoup plus développée en France (par l'Agence Rhin-Meuse), s'effectue en 04 grandes phases:
- La détermination des types (typologie) : il est nécessaire de définir la ou les typologies du cours d'eau en rapport avec son fonctionnement et sa dynamique pour comparer le cours d'eau à son type géomorphologique de référence.
- Le découpage : consiste en une sectorisation du cours d'eau en tronçons et ensuite en segments homogènes sur la base de critères géomorphologiques et anthropiques.
- L'inventaire : correspond aux visites de terrain. Pour chaque tronçon déterminé il faut renseigner sur la fiche des paramètres importants observés sur le terrain qui permettent de décrire le lit mineur, majeur et les berges.
- Le traitement informatique : utilisation du logiciel QUALPHY qui traite les données issues de l'inventaire selon une pondération des critères d'évaluation relative à la classification typologique.

Le résultat des quatre premières étapes donne au final des valeurs d'indices qui nous renseignent sur l'état de dégradation de l'ensemble des tronçons par rapport à leur type géomorphologique de référence.

Un indice proche de 0 correspond à un état de dégradation très élevé et au contraire un indice proche de 100 correspond à un état de dégradation quasi nul. A leur tour, ces valeurs d'indices serviront de référence pour guider le choix des aménagements ou des restaurations par les organismes concernés et impliqués dans la gestion du cours d'eau. Une autre méthode qui søapparente à la première est

- La méthode simplifiée de Méo: Quant à elle, cette méthode est basée sur 04 paramètres.
- Lévidence de dépôts;
- Løévidence de dégradation;
- Lévidence délargissement du canal principal;
- Lévidence dégiustement de la forme en plan.

En considérant les éléments constituants les évidences, on aboutit par une moyenne arithmétique à un indice de stabilité. Celui nous indique le degré dønstabilité du cours dœau étudié.

A cet effet, les personnes chargées de prendre des décisions peuvent juger de la pertinence des actions à entreprendre.

Dans la suite de ces travaux, nous nous sommes servis de la méthode simplifiée de Méo étant donné quœlle ne nécessite pas autant de paramètres que la méthode QUALPHY dont læncodage nécessite (au moins 40 paramètres) que nous ne disposions pas encore pour lætude hydromorphologique du cours dæau principal en Amont de la retenue de Mogtedo.

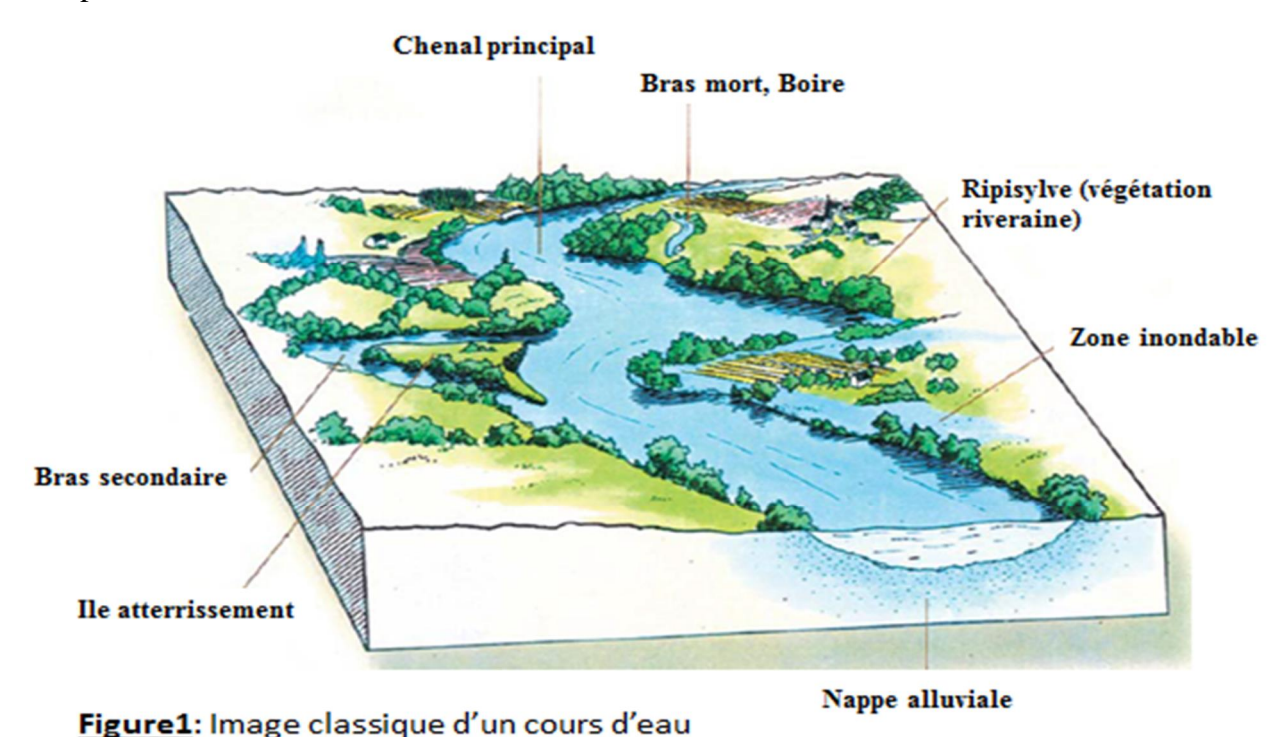
Il a aussi été proposé des solutions qui permettront à la Direction Générale des Aménagement et du Développement de lørrigation de prendre des décisions.

HYPOTHESE:

Lœtude hydromorphologique du cours dœau principal en amont de la retenue de Mogtedo a été faite sur certains tronçons définis comme échantillon dœtude. Les résultats et interprétations faits sont valables pour lœnsemble du cours dœau.

II-1 Løéchantillonnage

Pour mieux cerner le raisonnement que nous avons adopté pour la réalisation de notre étude, nous estimons que la photo-type døun cours dœau (telle que présentée ci-dessous) sera døun ajout à la compréhension.



Sur cette image figurent les différents éléments qui entrent en compte dans le fonctionnement du cours dœau. Principalement løon remarque le chenal qui est le lieu effectif de transit du cours dœau. La ripisylve quant à elle regorge tout ce qui est végétation autour du cours dœau. Elle a pouvoir døaffecter la nature du cours dœau en agissant par exemple sur ses berges. La plaine alluviale comme cela peut se constater interagis avec le cours dœau. Dans cet échange, on pourra parler ou non des zones inondables et des méandres qui peuvent se former.

Etant donné qu'il était difficile de longer tout le cours dœau pour mener de manière minutieuse lœtude hydromorphologique, nous nous sommes proposé de choisir 20 sites du cours dœau en amont de la retenue. Ceci en raison du temps impartis à lœtude.

Le site ici est un tronçon représentatif délimité du cours dœau. Sur chaque site, nous avons décidé de réaliser trois profils qui nous permettraient dœavoir des renseignements hydrologiques recherchés de notre cours dœau. La longueur des différents sites qui ont été définis variait de 10 à 15 fois la largeur de la section moyenne du cours dœau en ce site.

- Nous avons affiché un modèle numérique de terrain (MNT) : fichier raster (ref3d, SPOT Image). Il est døune résolution de 30m x 30m -. Ce modèle numérique de terrain a été découpé sur løensemble du bassin versant du Bomboré. Les cellules sont affectées døune altitude z.

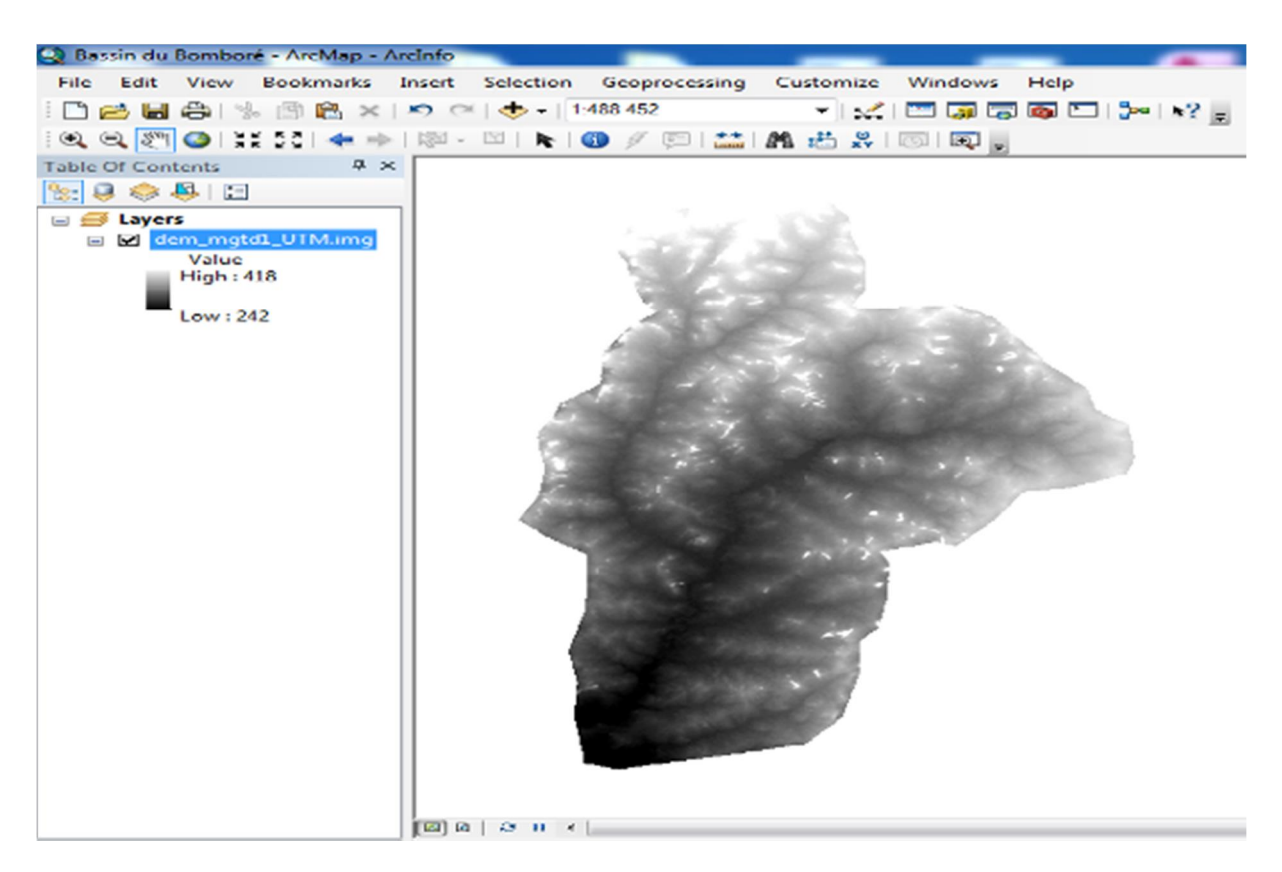


Figure 6: Etape 1 sur ArcGIS 10

- Après avoir chargé le fichier, nous avons appliqué sur ce dernier la commande « FILL ». La commande se trouvant dans la boite døoutils «arctoolbox » « spatial analyst tools » « hydrology » « fill ». Cette commande permet de régulariser les dépressions fermées. Ainsi appliquée, un toilettage est fait sur le MNT et les « sinks » (dépressions fermées) sont remplies. Dès lors nous pouvons procéder aux autres commandes sur le nouveau fichier nettoyé portant le nom « Fill_img ».
- A ce stade, il nous faut ressortir la direction des flux.

Comme plus haut, on utilise le fichier raster sur lequel on a effectué le remplissage des puits. En suivant le même protocole que celui du remplissage, on demande au logiciel de nous générer la direction des flux (Flow direction) quøn peut voir ci-dessous. En vert (au centre), cæst la superficie occupée par le barrage de Mogtedo.

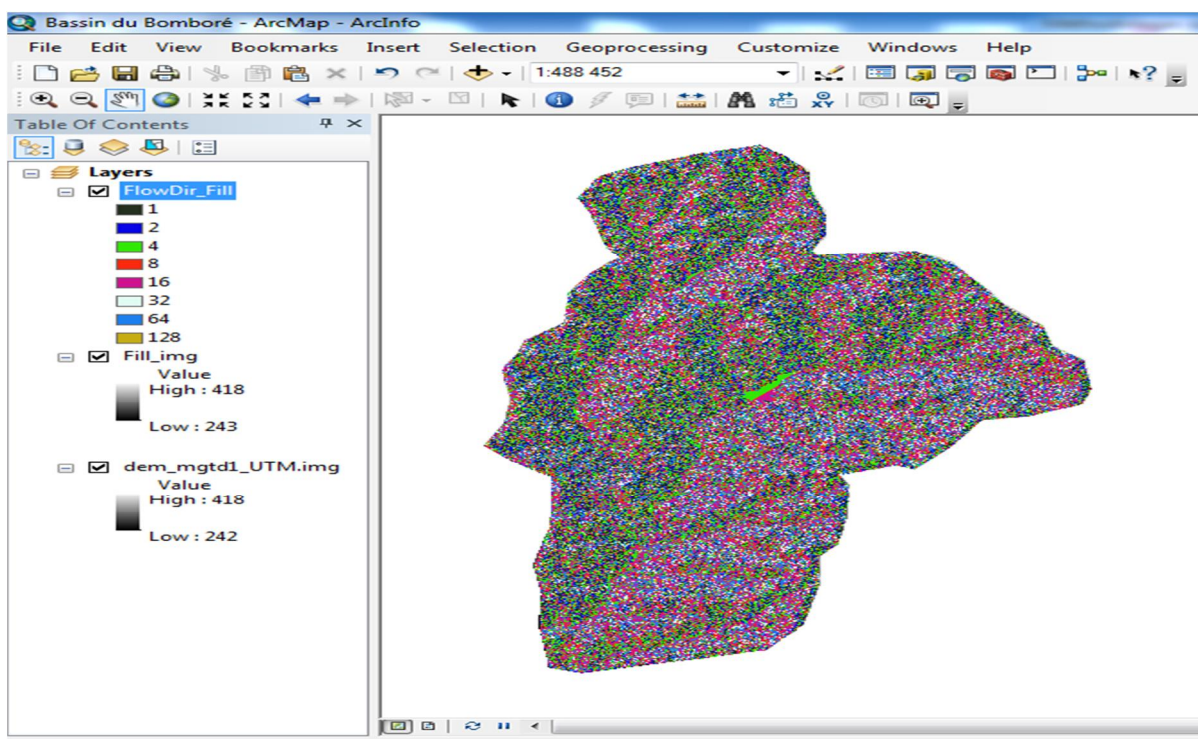


Figure 7: Etape 3 sur ArcGIS 10

- Une fois la direction des flux est ressortie, il nous faut générer le réseau hydrologique.

Il søbtient à loaide de la commande « flow accumulation » dans la barre doutils.

Nous tenons à rappeler que le réseau hydrologique ainsi généré est celui de lænsemble du bassin versant du Bomboré. Nous nous limiterons plus tard à la partie amont du barrage de Mogtedo.

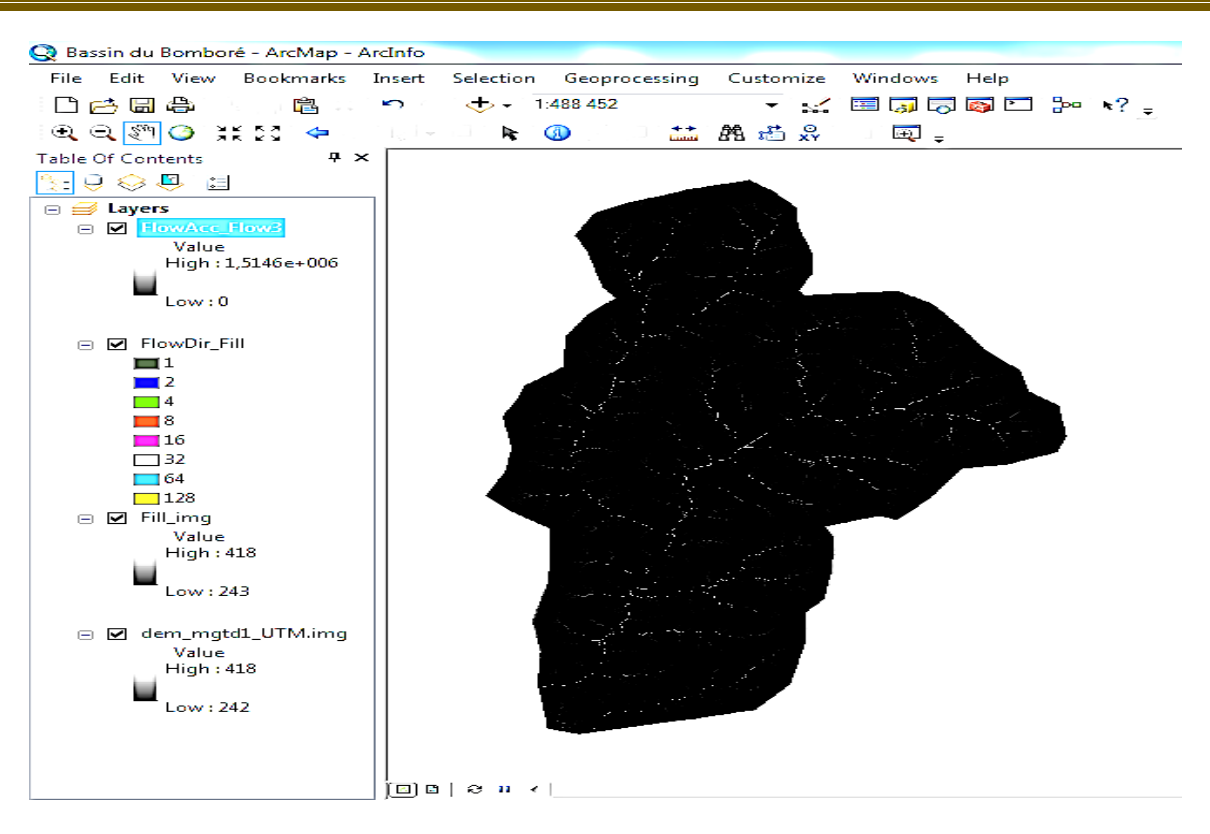


Figure 8: Etape 4 sur ArcGIS 10

Nous nous sommes proposé de regrouper les tronçons du cours dœau ayant une superficie de bassin versant égale à 15 km². Pour ce faire, nous avons utilisé la méthode døintervalles définis. Sachant quøn pixel vaut 900m² (30m X 30m), nous avons obtenu une valeur de 16 667 pixels que nous avons introduite comme classe døintervalle. Après ceci, nous avons rastérisé notre fichier. Par un jeu de couleurs, nous avons isolé ces tronçons tels que présentés ci-dessous.

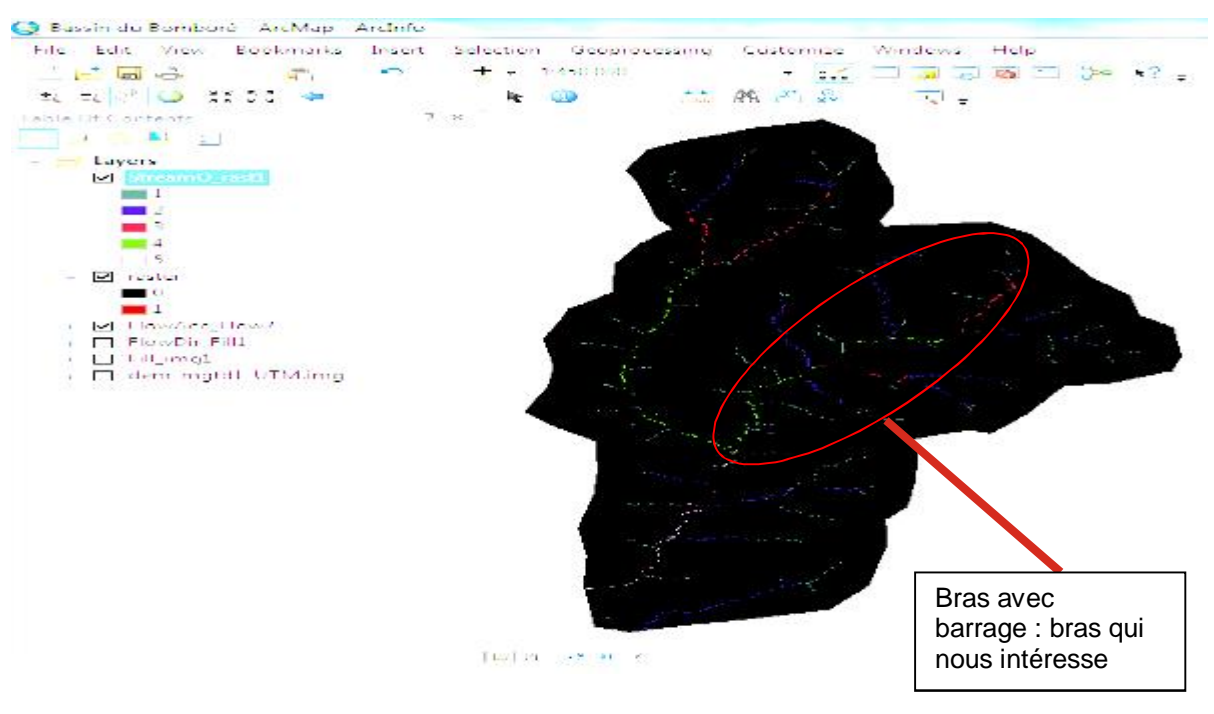


Figure 9: Etape 5 sur ArcGIS 10

Pour le travail de terrain, nous avons matérialisé tous les points du bassin (extrémités des tronçons délimités) que nous avons consignés dans le tableau ci-dessous. Seuls ceux en gris font partie du cours dœau en amont de la retenue de Mogtedo : ce sont ces points qui nous intéresseront dans la suite.

Tableau 5: Coordonnées des points choisis du réseau.

Id	X	Y	Id	X	Y
1	-0,81126128524	12,53226902920	24	-0,90932202658	12,10887770120
2	-0,81413134162	12,51864778620	25	-0,70841233947	12,43363217660
3	-0,82924339997	12,49007220230	26	-0,70789322778	12,40768989210
4	-0,82892472285	12,48531597440	27	-0,71431291673	12,38881802460
5	-0,83909225283	12,46919989870	28	-0,72115514187	12,37489392810
6	-0,84705037736	12,46134062950	29	-0,73595281120	12,35273590660
7	-0,86518485945	12,44346719420	30	-0,75060398598	12,33562599650
8	-0,88007738395	12,42958698410	31	-0,77111673685	12,33975574990
9	-0,89110780025	12,42795646630	32	-0,80808188260	12,32314268140
10	-0,89625551186	12,42271443530	33	-0,73768336282	12,34141733500
11	-0,89724791582	12,41625159020	34	-0,78682174024	12,33642078580
12	-0,91015798108	12,39786401480	35	-0,82503401622	12,30591624650
13	-0,91233372632	12,37767657680	36	-0,82919813980	12,30281000380
14	-0,91705353249	12,35843290290	37	-0.83535051544	12,29435452750
15	-0,92276876465	12,34910070520	38	-0,84692868644	12,28757850140
16	-0,93396654404	12,32567998180	39	-0,86204409741	12,28127101300
17	-0,94082579700	12,30077319230	40	-0,86508147733	12,27575166370
18	-0,94205211611	12,29850445190	41	-0,86099444043	12,23824289970
19	-0,93987371277	12,28075947280	42	-0,86721505124	12,22749944410
20	-0,93087866056	12,25900146140	43	-0,92735723054	12,34265082220
21	-0,92303350410	12,24487825470	44	-0,86212981780	12,25361701260
22	-0,90893169419	12,23258918550	45	-0,87309692243	12,20781557270
23	-0,87680141764	12,21062024330	46	-0,87642452150	12,20795163050

- Nous avons introduits ces coordonnées dans le GPS.

Pour faciliter notre déplacement une fois sur le terrain, nous avons tracé un itinéraire en reliant ces différents points à loaide du logiciel Mapsource comme nous le présente la figure 12. Cet itinéraire a été réintroduit dans le GPS.

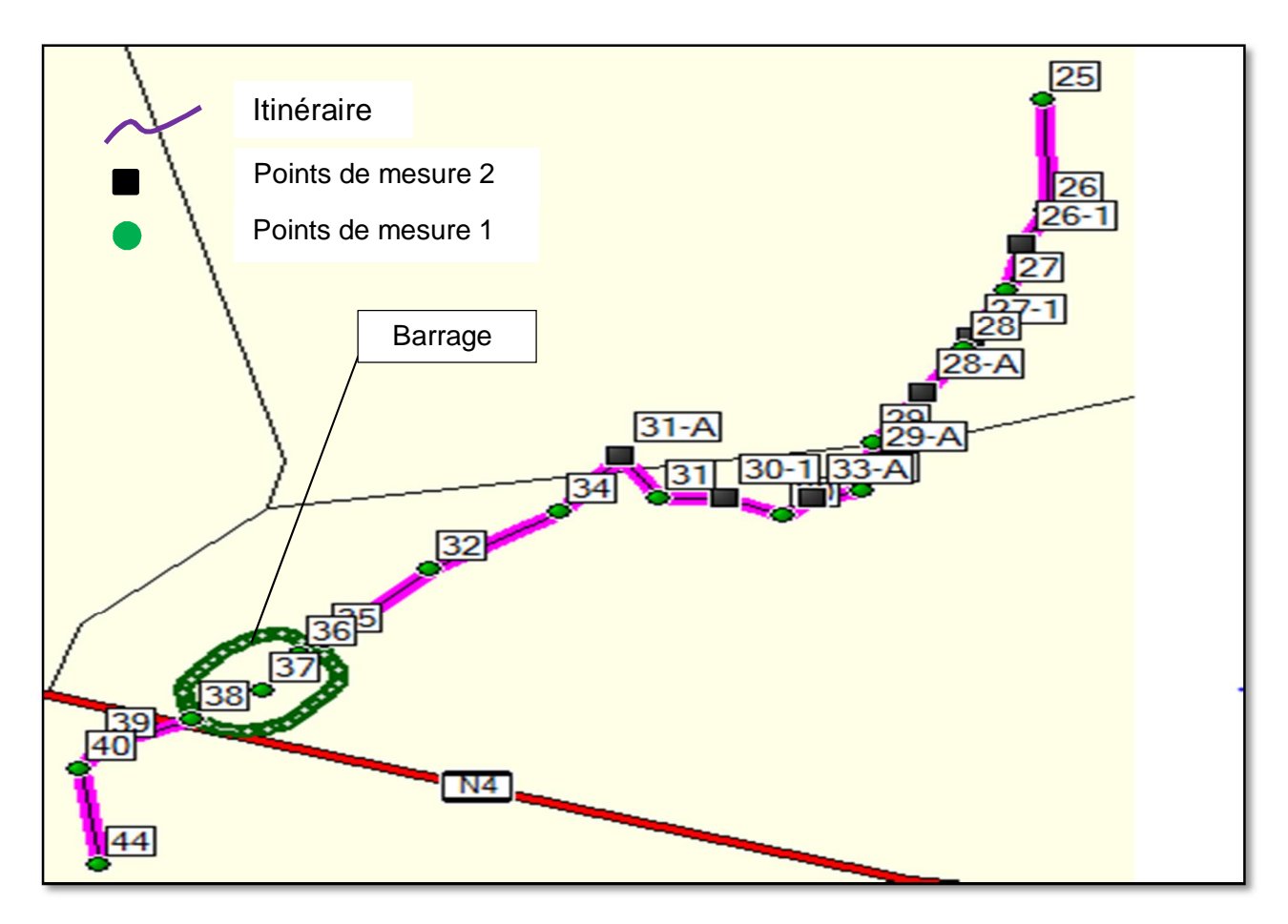


Figure 10: Echantillonnage du cours d'eau à étudier

NB : Les « points de mesure 1 » sont les points prédéfinis à lœuide du réseau hydrographique de la zone. Ceux-ci ont été définis avant la descente sur le terrain.

En revanche, les « points de mesure 2 » ont été définis in-situ. Ceci pour avoir un plus grand nombre déchantillon. Chacun de ces points a été choisis approximativement à 800 mètres de tout autre point.

Løalignement de ces points constitue un itinéraire de 18.8 km de longueur cumulée.

NB: La présence du barrage ayant largement modifié le profil du cours dœau des points qui lui sont les plus rapprochés, nous nous sommes proposé d@ajouter 06 points intermédiaires pour rester plus ou moins dans le nombre de site voulus.

II-2 Reconnaissance du site

La reconnaissance du site était la raison de notre première descente sur Mogtédo.

- Une fois sur les lieux, nous avons repéré tous les points de léchantillonnage.
- Nous remplissions à chaque point donné les informations recherchées qui étaient imprimées au préalable sur la fiche.

II-3 Choix des variables détude

Pour mener à bien notre étude, nous avons recensé certaines variables à rechercher.

La géologie, le climat, la topographie sont les facteurs qui façonnent la morphologie dœun cours dœau et en déterminent le régime. Ces éléments naturels imposent donc le débit liquide, la charge solide, la ripisylve, la géométrie ainsi que les caractéristiques granulométriques et mécanique du lit du cours dœau. Ces éléments imposés au cours dœau constituent ce quœon appelle les variables de contrôle. Les variables de réponse ou dœajustement sont des variables sur lequel le cours dœau peut agir pour accomplir ses fonctions de base, cœst-à-dire transporter un débit liquide et une charge solide. Elles constituent donc lœnsemble de degrés de liberté du cours dœau. Les variables de réponses sont :

- -les variables géométriques : largeur, profondeur, pente du fond, amplitude et longueur døonde des sinuosités,
- la taille des sédiments transportés,
- la vitesse du courant.

Dans le cadre de nos travaux, nous avons retenus quelques variables comme présentés sur le tableau ci-dessous, avec mention du degré de leur pertinence.

Tableau 6: Variables hydromorphologiques considérées influent sur lécrosion des berges

Variables de contrôle	Pertinence de la variable	Variables de réponse	Pertinence de la variable
Type de profil	Elevé	Pente	Faible
Type de matériaux de berge	Elevé	Largeur	Elevé
Type de dynamique de berges	Elevé	Sinuosité	Faible
Type de végétation des berges	Elevé	Profondeur	Elevé

- **Justification du choix de ces variables :** Gisèle Verniers a effectué des travaux en 1995.
- Type de profil de berges: Quatre types ont été définis. Le type P1 : celui-ci concerne les berges dont la pente est comprise entre 0 et 45°. Le type P2 : pente comprise entre 45 et 70°. Le type P3 : pente comprise entre 70 et 90°. Et enfin le type P4 : Celui-ci est attribué aux berges composées. Connaître le type de profil de berges permet de savoir quelle est la configuration de la section transversale du cours dœau en un espace défini de ce dernier. Cette connaîssance servira dœutil dœaide à la décision du type de protection il faudra prévoir.
- **Type de matériaux de berges**: Le glissement des talus survient généralement lorsque les matériaux composant la berge ne peuvent plus résister aux forces gravitationnelles. Ce mécanisme survient plutôt dans des sols cohésifs qui sont capables de retenir de grandes quantités dœau, ce qui ajoute du poids à la berge et réduit les forces de cohésion entre les particules phénomène de lubrification. Résultat : le talus devient encore plus sensible au décrochement

Les matériaux communément rencontrés sont : la pierre, løargile, le limon, le sable, le gravier et le caillou. Ce sont là les six (06) types de matériaux que nous devions identifier sur le terrain après avoir pris un échantillon des berges dans la main. Selon que ce matériau était effritable, nous pouvions conclure si cøétait de løargile ou du limon et vice-versa. A vu døò il, nous pouvions également déduire du reste.

- **Type de végétation des berges**: Au préalable, nous avions prédéfinis les classes possibles de végétation que løn pouvait rencontrer sur les berges. Il søagit des classes de Type 1 : Herbacées éparses : pour les tronçons où la végétation est de løherbe dispersée. Type 2 : Herbacées denses : Ici, les herbes sont plus resserrées. Type 3 : Ligneux éparses : qualificatif utilisé pour les tronçons où løn trouve du bois de manière dispersée. type 4 : Ligneux dense : Bois ou arbuste présents de manière plus ou moins groupés, et Type 5 : sol nu.

Il nœst plus à démontrer le rôle de la végétation dans la préservation des berges dœun cours dœau. Connaître le type de végétation existant permet ainsi de voir le degré actuel de vulnérabilité des berges mais aussi de savoir ce quœl faudra soit ajouté, soit retrancher (en terme de végétation) pour sœassurer que nos berges sont à lœabri de lœrosion ou tout au moins très peu exposées.

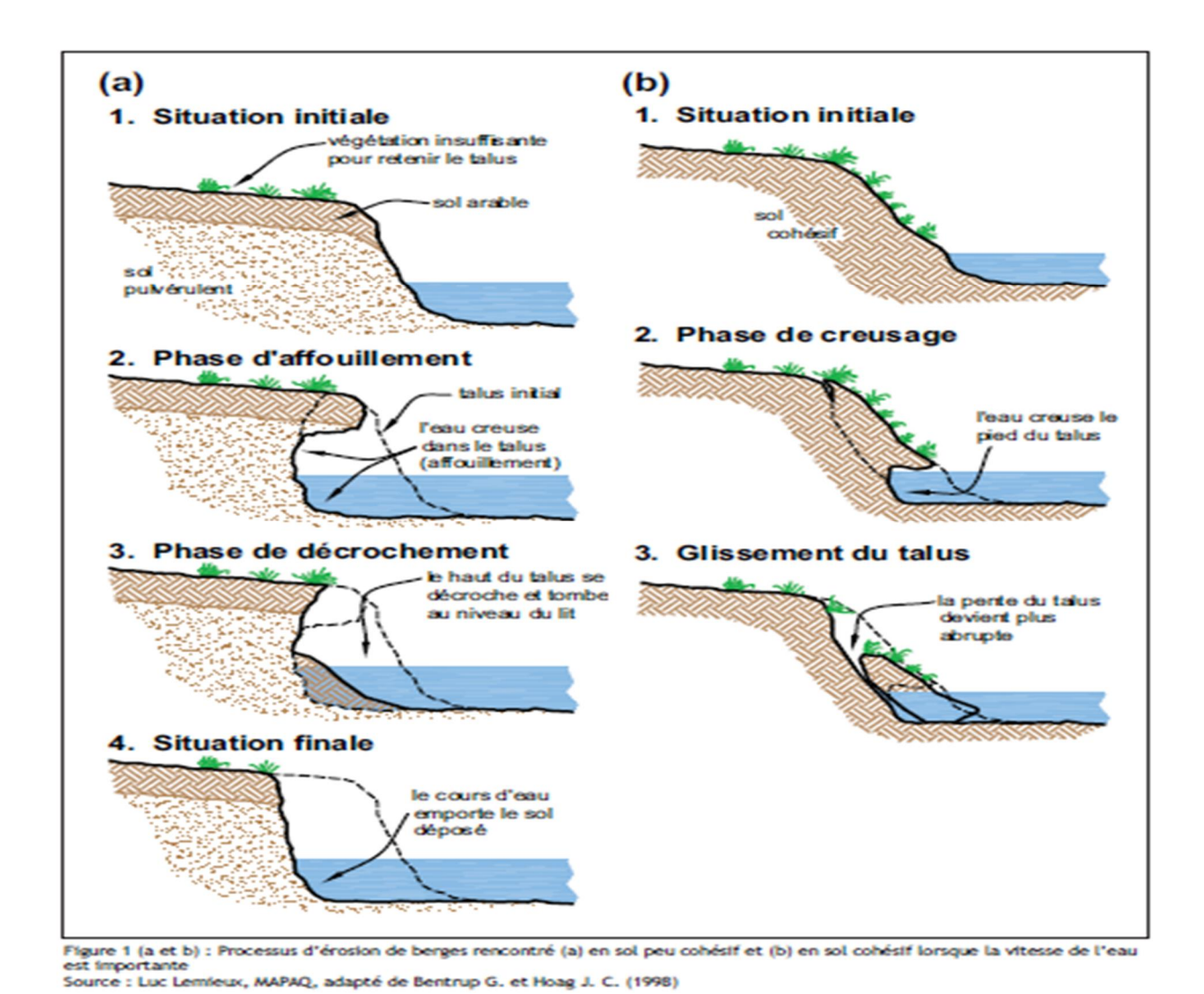
- Largeur et hauteur des berges: Lorsquøn augmente la pente ou la hauteur døun talus, le poids du sol excède éventuellement les forces de cohésion qui le retiennent, le sommet de la berge se fissure et le sol glisse en plaques. Une hauteur de berge réduite offre une plus grande qualité paysagère puisque le contact visuel et løaccessibilité à læau sont favorisés. Définis au niveau de chaque site, ces paramètres ont été obtenus à base des levés topographiques que nous avons réalisés.

- **Type de dynamique de berges**: Pour des raisons presque identiques au premier, connaître la dynamique des berges nous renseigne davantage sur a phase dérosion et par-dessus, nous fait aisément ressortir le traitement à administrer qui convienne le mieux.

Les étapes dérosion comme vue sur la photo ci-dessous sont :

Løaffouillement : il correspond à løerosion localisée du pied de la berge, principalement engendrée par le batillage. La berge adopte un profil caractéristique en « surplomb », provoquant une instabilité de la partie haute du talus;

Le glissement : il est marqué par un déplacement vertical des matériaux depuis le sommet ou le talus de la berge vers le pied de la berge et le lit mineur ;



NB 1: sur la fiche-terrain, nous avons laissé une rubrique pour mentionner les dégradations dørigine anthropique notamment læxtraction de sable, la production de briques, les seuils dans le

lit mineur, les gabions, les empierrements, le passage du bétail. Toute autre observation devrait également y être consignée.

NB 2: Les informations fournies concernant les variables ci-dessus développées ont été estimées (pour les types de profils, dynamiques de berges, types de matériaux et végétation). Pour ce qui est des profils, nous les avons obtenus de notre niveau.

(Voir modèle de fiche de terrain en annexe).

II-4 Mode de collecte des données

Le principe était simple. Marquer sur la fiche ce que nous constations sur le terrain (ceci a été surtout vrai pour évoquer les dégradations des berges dégrigine anthropique). Pour les autres paramètres, il fallait juste faire des classifications (notamment pour le type de matériaux de berge) et estimer des pourcentages (céest le cas notamment du type de profil, du type de dynamique et le type de végétation de berges).

A chaque site défini correspond une fiche de terrain.

II-5 Méthode de traitement de données

Pour traiter les informations recueillies, nous nous sommes servis de Excel. Nous avons élaboré un tableau à double entrée dans lequel nous avons introduits les informations relatives à tous nos sites détude. Après avoir traitées ces données sur le logiciel TANAGRA, nous avons pu proposer léordonnancement des interventions de restauration.

TROISIEME PARTIE: RESULTATS ET ANALYSES

Chapitre III: RESULTATS

Dans cette section, nous présenterons les résultats qui ont été obtenus.

Tableau 7: Remplissage de la Grille d'interprétation pour l'indice de stabilité du cours d'eau en amont de la retenue de Mogtedo

Forme/Processus	Indicateur géomorphologique			sent
Forme/Processus	N°	Description	Non	Oui
	1	Aire de dépôt (bar)		
	2	Matériaux grossiers dans zones rapides		
∠	3	Dépôt de silt dans zones tranquilles		
Évidence døalluvionnement	4	Aire de dépôt au milieu		
(ID)	5	Accumulation sur les aires de dépôt dans les courbes		
(ID)	6	Mauvaise ségrégation longitudinale des matériaux du lit		
	7	Dépôts dans la zone extérieure		
	2	Somme des indices		
	1	Fondations de pont exposées		
	2	Conduites exposées		
	3	Émissaire pluvial surélevé		
∠	4	Gabion/béton minés		
Évidence døérosion	5	Trou dérosion en aval des ponceaux/émissaires		
(IE)	6	Face coupée pour les aires de dépôt		
(IL)	7	Coupe verticale		
	8	Couche de protection avec base dégagée		
	9	Canal dégradé jusquøau roc		
	3	Somme des indices		
	1	Arbres, arbustes, clôtures tombés		
	2	Présence de débris organiques de grandes dimensions		
	3	Racines døarbres exposées		
	4	Érosion au bas du talus dans les méandres		
Évidence	5	Érosion au bas de talus sur les 2 côtés dans les zones rapides		
døélargissement	6	Gabion/murs contournés par løécoulement		
(IEL)	7	Longueur de légrosion au bas de talus > 50 % dans le tronçon		
	8	Longueur exposée døune conduite ou døun câble antérieurement enfouis		
	9	Lignes de fracture en haut du talus		
	10	Fondations de bâtiment exposées		
	6	Somme des indices		

	1	Formation de coupe(s)		
	2	2 Canal simple à canaux multiples 3 Évolution de la forme zone tranquille (bassin) vers zone rapide à un lit abaissé		
	3			
Évidence	4	Canaux de coupe		
døajustement	5	Formation doîles		
de la forme en plan (IP)	6	Alignement du thalweg déphasé avec la forme des méandres		
	7	La forme des aires de dépôt mal définie Somme des indices		
	3	Somme des indices		
Indice de stabilité (IS) = (ID + IE + IEL + IP) / m				

Tableau 8: Récapitulatif des indices

Évidence	Évidence	Évidence	Évidence	Total
døalluvionnement	døérosion	døélargissement	døajustement	[IS=(ID+IE+IEL+IP)/33]
(ID)	(IE)	(IEL)	de la forme en plan	
			(IP)	
2	3	6	3	0,42

a) Résultats types de profils

Résultats : Types de profils					
Attribut	Min	Max	Moyenne	Std-dev	Std-dev/moy
RG : 0-45°	0	0	00,00%	0,0000	-99999,0000
RG: 45-70°	0	0,3	03,13%	0,0873	2,7943
RG: 70-90°	0	0,9	54,37%	0,3669	0,6748
RG: berges composée	0	1	42,50%	0,3941	0,9273
RD : 0-45°	0	0	00,00%	0,0000	-99999,0000
RD: 45-70°	0	0,3	05,63%	0,1031	1,8325
RD: 70-90°	0	0,9	50,00%	0,3916	0,7832
RD : berges composée	0	1	45,00%	0,3899	0,8664

Sur les deux rives (rives gauche et droite), nous constatons que le type de profil le plus rencontré est celui dont løinclinaison est comprise entre 70° et 90°. Sur les 16 segments définis les berges ont ce profil à 52,19%, soit à ce profil seul plus de la moitié.



Figure 11: Exemple de profil incliné de 70 -90°

b) Résultats types de de dynamiques de berges

Résultats : Type de dynamique de berges						
Attribut	Min	Max	Moyenne	Std-dev	Std-dev/moy	
RG : Berges stables	0	0,9	10,62%	0,2909	2,7379	
RG: Berges verticales instables	0	1	63,75%	0,3914	0,6139	
RG : Affouillement du pied de berge	0	0,3	03,13%	0,0873	2,7943	
RG: Présence de début de ravines	0	0,7	16,88%	0,1580	0,9362	
RG : Glissement/effondrement	0	0,9	05,62%	0,2250	4,0000	
RD : Berges stables	0	0,9	15,62%	0,3386	2,1668	
RD: Berges verticales instables	0	1	64,37%	0,3759	0,5839	
RD : Affouillement du pied de berge	0	0,4	06,25%	0,1204	1,9267	
RD : Présence de début de ravines	0	0,2	07,50%	0,0577	0,7698	
RD : Glissement/effondrement	0	0,9	06,25%	0,2247	3,5956	

Nous constatons que 64,06% des berges sont instables.



Figure 12: Exemple de berge verticale instable

c) Résultats types de végétation

Résultats : Type de végétation					
Attribut	Min	Max	Moyenne	Std-dev	Std-dev/moy
RG: Herbacée éparse	0	0,6	08,13%	0,1721	2,1184
RG: Herbacée dense	0	0,9	07,50%	0,2324	3,0984
RG: Ligneux éparse	0	0,6	09,06%	0,1615	1,7818
RG: Ligneux dense	0	0,8	05,00%	0,2000	4,0000
RG : Sol nu	0,1	1	70,31%	0,3036	0,4317
RD : Herbacée éparse	0	0,6	06,25%	0,1500	2,4000
RD : Herbacée dense	0	0,9	05,62%	0,2250	4,0000
RD : Herbacée éparse	0	0,6	10,31%	0,1812	1,7568
RD : Herbacée dense	0	0,8	05,00%	0,2000	4,0000
RD : Sol nu	0	1	72,81%	0,3173	0,4357

Pour ce qui est de la végétation, nous pouvons dire que le sol est pratiquement nu sur toute loétendue de notre cours doeau à cause du pourcentage élevé qui est de 71,56%.



Figure 13: Exemple de segment de cours d'eau où le sol des berges est nu.

d) Résultats types de matériaux

Résultats : Type de matériau de berges					
Attribut	Gini	Distribution			
		Valeurs	Nombre	Pourcentage	Histogramme
RG-Dominant	0,2188	A	14	87,50 %	
		L	2	12,50 %	
		Valeurs	Nombre	Pourcentage	Histogramme
RD-Dominant	0,2188	A	14	87,50 %	
	L	2	12,50 %		

Légende : A : Argile L : Limon.

Nous constatons que le matériau le plus rencontré sur nos berges est løargile qui à elle seule recouvre 87% des matériaux lorsquøil est dominant sur un segment de cours døeau et recouvre 12,50% lorsquøil est secondaire.

e) Résultats levés topographiques

Deux types de levés ont été faits sur chaque tronçon étudié. Les levés en profil en long (pour connaître la pente) et des levés en profil en travers (pour connaître largeur et profondeur.

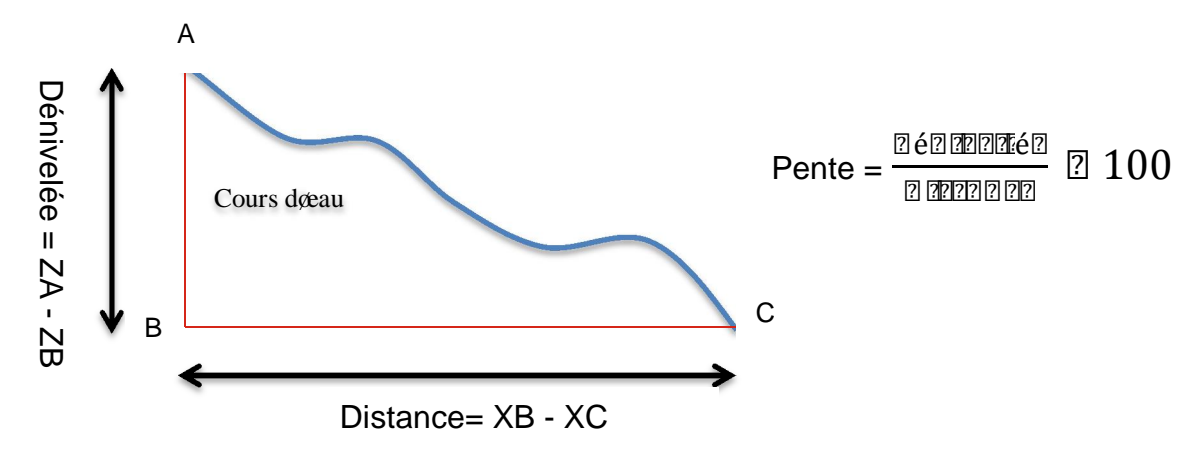
Citos	Types de	Code Profil	Hauteur lue	Distance lue
Sites	profil	Code Profil	[m]	[m]
		AB25P1F1	1,5807	26,658
		AB25P1F2	1,7556	35,377
		AB25P1F3	1,4754	44,742
	Duetil ee	AB25P1F4	1,6141	41,219
	Profil en long	AB25P1F5	1,0179	46,567
Site 25		AB25P1F6	1,3194	34,786
Site 25		AB25P1F7	2,1728	2,775
		AB25P1F8	2,5463	4,125
		AB25P1F9	2,1200	5,248
	Profil en travers	SB25P1F7	2,0378	3,645
		SB25P1F8	2,6333	5,274
		SB25P1F9	1,8913	7,119

		AB26P1F1	1,6395	28,253
		AB26P1F2	1,8133	32,299
		AB26P1F3	1,6032	51,301
	Profil en	AB26P1F4	1,6703	32,567
	long	AB26P1F5	1,4180	39,925
Site 26	long	AB26P1F6	1,4220	27,312
Site 20		AB26P1F7	1,8441	2,087
		AB26P1F8	2,7035	5,818
		AB26P1F9	1,7451	9,138
	Drofilon	26AP1	1,7153	2,573
	Profil en	26AP2	2,5184	6,805
	travers	26AP3	1,8766	11,379
	D. of Cilonon	26AP1	1,7153	2,573
Site 26-1	Profils en	26AP2	2,5184	6,805
	travers	26AP3	1,8766	11,379
		AB27P1L1	1,5160	40,263
		AB27P1L2	1,5431	47,555
		AB27P1L3	1,4707	64,855
	Due Cil	AB27P1L4	1,6781	60,710
	Profil en	AB27P1L5	1,7095	61,097
C:+- 27	long	AB27P1L6	1,7980	64,247
Site 27		AB27P1L7	1,5833	3,189
		AB27P1L8	3,6273	10,818
		AB27P1L9	1,7714	17,188
	Dwafile	27AP1	1,5403	2,571
	Profil en	27AP2	4,5041	7,827
	travers	27AP3	1,4720	13,091
	5 61	27AP1	1,5403	2,571
Site 27-1	Profils en	27AP2	4,5041	7,827
	travers	27AP3	1,4720	13,091
	† †	AB28P1L1	1,4827	18,421
		AB28P1L2	1,6838	25,783
		AB28P1L3	1,7712	26,492
		AB28P1L4	1,8579	22,293
	Profil en long	AB28P1L5	1,7736	38,768
Site 28		AB28P1L6	1,7863	21,740
Sile 20		AB28P1L7	2,1837	2,650
		AB28P1L8	3,3106	6,215
		AB28P1L9	1,4877	10,962
	Profil en	28AP1	1,9058	2,239
	travers —	28AP2	4,1969	9,825
		28AP3	3,1450	14,122

		28AP1	1,9058	2,239
Site 28-1	Profils en	28AP2	4,1969	9,825
Site 20-1	travers	28AP3	3,1450	14,122
		AB29P1L1	1,7132	26,041
				•
		AB29P1L2	1,7150	40,668
		AB29P1L3	1,7167	27,575
	Profil en	AB29P1L4	1,6259	9,957
	long	AB29P1L5	1,5013	19,714
Site 29	· ·	AB29P1L6	1,6404	22,548
		AB29P1L7	1,6779	2,622
		AB29P1L8	3,2231	4,324
		AB29P1L9	1,5814	6,478
	Profil en	29AP1	2,3305	4,337
	travers	29AP2	3,2505	7,939
	travers	29AP3	1,6710	10,871
	Dectile	29AP1	2,3305	4,337
Site 29-1	Profils en	29AP2	3,2505	7,939
	travers	29AP3	1,6710	10,871
		AB33P1L1	1,5026	26,002
		AB33P1L2	1,4455	39,572
		AB33P1L3	1,6010	24,037
	_	AB33P1L4	1,4923	19,184
	Profil en	AB33P1L5	0,9732	31,943
	long	AB33P1L6	0,9223	27,020
Site 33		AB33P1L7	1,7933	2,014
		AB33P1L8	3,5957	4,715
		AB33P1L9	1,6556	9,312
		33AP1	1,4803	2,844
	Profil en	33AP2	2,8529	5,541
	travers	33AP3	1,9266	8,626
		33AP1	1,4803	2,844
Site 33-1	Profils en	33AP2	2,8529	5,541
	travers	33AP3	1,9266	8,626
		AB30P1L1	1,7864	44,311
 		AB30P1L2	1,9177	59,527
		AB30P1L3	1,8537	77,795
		AB30P1L4	1,9091	79,172
	Profil en	AB30P1L5	1,8638	57,159
a	long	AB30P1L6	1,8295	48,772
Site 30		AB30P1L7	1,6455	2,127
		AB30P1L8	4,0000	9,725
 		AB30P1L9	2,4158	16,677
 		30AP1	1,7097	2,447
	Profil en	30AP2	2,8195	5,575
	travers	30AP3	1,6106	9,013

		30AP1	1,7097	2,447
Site 30-1	Profils en	30AP2	2,8195	5,575
5110 50 1	travers	30AP3	1,6106	9,013
		AB31P1L1	1,5090	44,121
		AB31P1L2	1,8062	47,229
		AB31P1L3	1,6914	57,476
		AB31P1L3	1,8717	37,470
	Profil en	AB31P1L5	1,9403	70,303
	long		,	·
Site 31		AB31P1L6	1,9224	63,109
		AB31P1L7	1,6713	4,436
		AB31P1L8	2,9228	7,192
		AB31P1L9	1,7994	9,183
	Profil en	31AP1	1,6289	2,296
	travers	31AP2	2,6770	4,134
	travers	31AP3	1,6624	6,635
	Profils en	31AP1	1,6289	2,296
Site 31-1	travers	31AP2	2,6770	4,134
	travers	31AP3	1,6624	6,635
		AB34P1L1	1,5109	38,332
		AB34P1L2	1,7951	48,304
		AB34P1L3	1,8807	58,717
	5 (1)	AB34P1L4	1,7340	59,685
	Profil en	AB34P1L5	1,6632	47,706
611 24	long	AB34P1L6	1,8819	35,558
Site 34		AB34P1L7	1,4146	3,618
		AB34P1L8	3,3359	8,639
		AB34P1L9	1,6190	13,244
		34AP1	1,5804	3,072
	Profil en	34AP2	3,7994	9,880
	travers	34AP3	1,4500	15,978
	- CI	34AP1	1,5804	3,072
Site 34-1	Profils en	34AP2	3,7994	9,880
	travers	34AP3	1,4500	15,978
			•	

f) Calcul des pentes



Les résultats sont consignés dans le tableau

Tableau 9: Pentes moyennes calculées

Sites	Longueur (m)	Largeur du cours d'eau (m)	Pente moyenne (en %)
Site 25	154	3,9	0,0435
Site 26	215	7	0,0363
Site 26-1	65	8,8	0,0363
Site 27	313	14	0,0470
Site 27-1	70	10,5	0,0470
Site 28	172	8,3	0,0506
Site 28-1	64	11,85	0,0506
Site 29	155	4	0,0129
Site 33	148	7,3	0,0967
Site 33-1	81	5,8	0,0967
Site 30	209	14,5	0,0072
Site 30-1	137	6,5	0,0072
Site 31	155	4,7	0,0840
Site 31-1	151	4,4	0,0840
Site 34	193	9,65	0,0618
Site 34-1	908	12,9	0,0618

Chapitre IV: INTERPRETATION ET ANALYSES

a) Indice de stabilité

Pour le cours dœau principal en amont de la retenue de Mogtedo, nous avons eu comme résultats les valeurs du tableau 7. Nous précisons que les valeurs y consignées résultent de la descente de terrain effectuée.

Tableau 10: Classification du canal en fonction de l'indice de stabilité (Méo 2003)

Valeur de løindice de stabilité IS	Classification	Interprétation
IS > 0,41	En ajustement	La morphologie du canal nœst pas à løintérieur de la gamme de variabilité pour des cours dœau de caractéristiques hydrographiques similaires et une évidence døinstabilité est observée à plusieurs endroits.

b) Levés topographiques

Tableau 11: Classement selon la typologie des cours d'eau (ROSGEN;1996)

Pente	Classe de pente
P < 0,2%	Pente faible
0,2% < P < 1%	Pente moyenne
1% < P	Pente forte

Døaprès ce classement, il en ressort que toutes les pentes sont faibles car elles nøatteignent pas la valeur de 0.2%.

c) Proposition de protection des berges

Comme nous lœuvons évoqué plus haut, les impacts de la détérioration des berges sont nombreux et les raisons ne manquent pas pour envisager leur restauration.

Nous avons également classé les types de travaux que nous proposons pour chaque segment définis par ordre de priorité døintervention.

Pour avoir cette priorité døintervention, nous avons totalisé les degrés dœxposition aux risques dœrosion : ceux qui ont la somme la plus élevée sont les plus vulnérables : donc doivent recevoir les premières interventions.

Pour chaque site et chaque type considéré, nous avons travaillé avec le paramètre le plus influent. Par exemple pour le type de dynamique de berge, le profil « berge verticale instable » à lui seul affecte plus de 60% des berges.

Tableau 12: Classification des sites par priorité d'intervention

Site	Type de profil	Type de dynamique	Type de végétation	Type de matériaux de berges	Total	Priorité dantervention
Site 25	Α	В	А	Α	Groupe 3	2
Site 26	Α	В	В	А	Groupe 2	3
Site 26-1	В	Α	А	Α	Groupe 3	2
Site 27	В	Α	А	Α	Groupe 3	2
Site 27-1	В	А	А	Α	Groupe 3	2
Site 28	Α	А	В	Α	Groupe 3	2
Site 28-1	Α	В	В	Α	Groupe 2	3
Site 29	Α	Α	А	Α	Groupe 4	1
Site 33	В	А	А	Α	Groupe 3	2
Site 33-1	Α	А	А	Α	Groupe 4	1
Site 30	Α	Α	А	В	Groupe 3	2
Site 30-1	Α	Α	В	В	Groupe 2	3
Site 31	Α	В	А	Α	Groupe 3	2
Site 31-1	В	А	Α	Α	Groupe 3	2
Site 34	В	Α	А	Α	Groupe 3	2
Site 34-1	А	В	А	Α	Groupe 3	2

Nous sommes donc repartis sur nos relevés de terrain et avons donné la valeur « A » à tous les sites qui avaient un pourcentage élevé à cette moyenne (de 64,06%) et attribué la valeur « B » aux autres. Nous avons fait le même travail avec les autres types (profil, végétation et matériaux).

De cette classification est sortie des groupes (groupe de 2A, de 3A et 4A) døoù les priorités døintervention « 1 », « 2 » et « 3 » respectivement.

Ainsi, nous présentons ci-dessous les solutions applicables sur nos sites étudiés.

Le choix døune méthode de restauration repose sur la combinaison de plusieurs paramètres dont la morphologie observée en la section considérée, les moyens que løn dispose, la disponibilité du matériau et du matériel. Par-dessus tout, il faut søassurer du maintien de løquilibre écologique.

Deux types de profils ont été définis en fonction de la dynamique des berges. Le type A (où løn ne retrouve pas døaffouillement) et le type B (où løaffouillement des berges est présente).

Tableau 13: Bilan de nos propositions

Sites	Longueur (m)	Largeur du cours d le au (m)	Profil-type	Priorité d D ntervention	Solution préconisée
Site 25	154	3,9	Type B	2	Solution B
Site 26	215	7	Type A	3	Solution A
Site 26-1	65	8,8	Type A	2	Solution A
Site 27	313	14	Type B	2	Solution B
Site 27-1	70	10,5	Type B	2	Solution B
Site 28	172	8,3	Type A	2	Solution A
Site 28-1	64	11,85	Type A	3	Solution A
Site 29	155	4	Type A	1	Solution A
Site 33	148	7,3	Type B	2	Solution B
Site 33-1	81	5,8	Type B	1	Solution B
Site 30	209	14,5	Type A	2	Solution A
Site 30-1	137	6,5	Type A	3	Solution A
Site 31	155	4,7	Type A	2	Solution A
Site 31-1	151	4,4	Type A	2	Solution A
Site 34	193	9,65	Type A	2	Solution A
Site 34-1	908	12,9	Type A	2	Solution A

Ci-dessous, sont présentés la matérialisation des solutions A et B proposées.

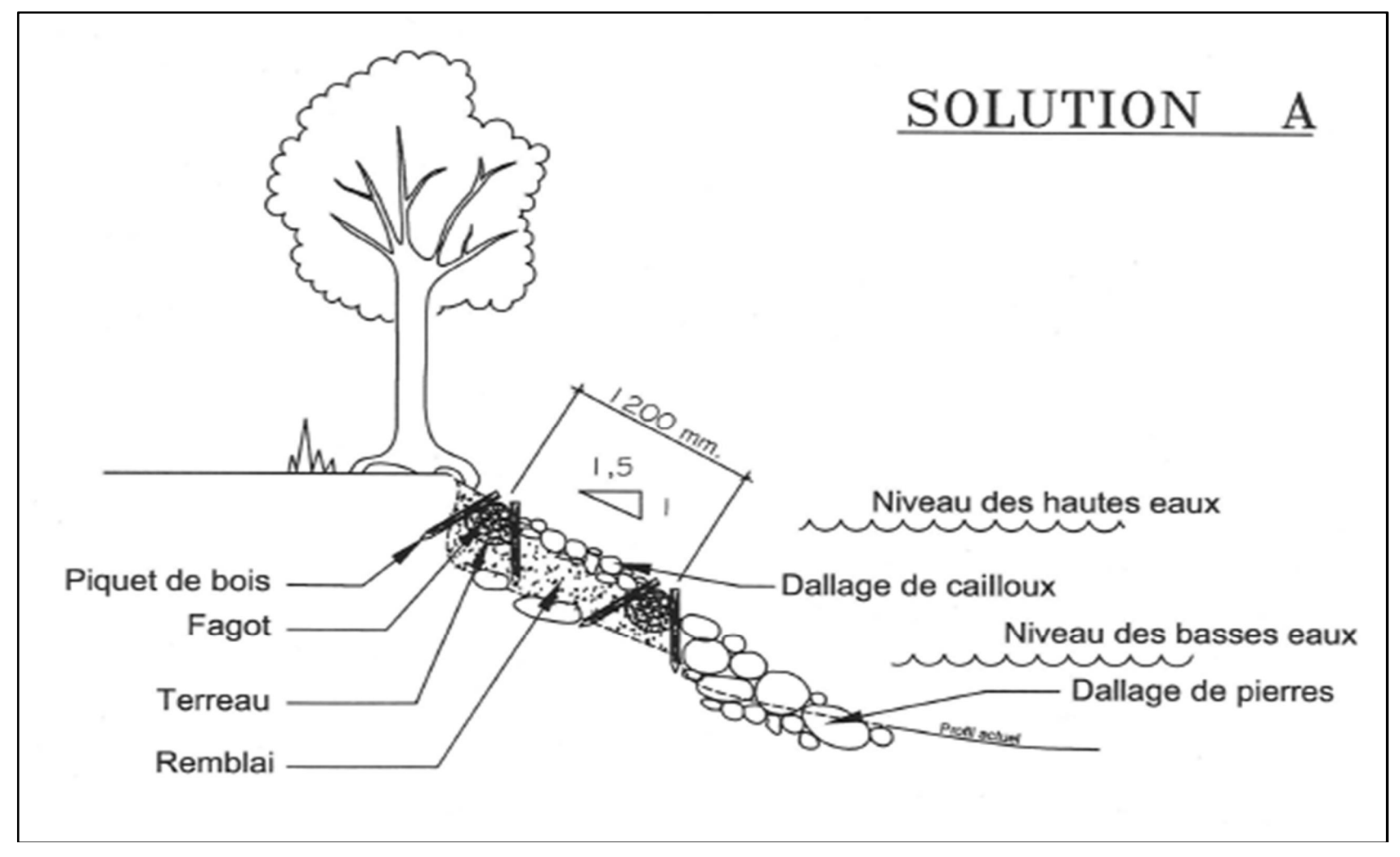


Figure 14: Proposition de solution profil-type1, source : ÉTUDE SUR L'ÉROSION DES RIVES DES RIVIÈRES LORETTE ET DU CAP ROUGE 1

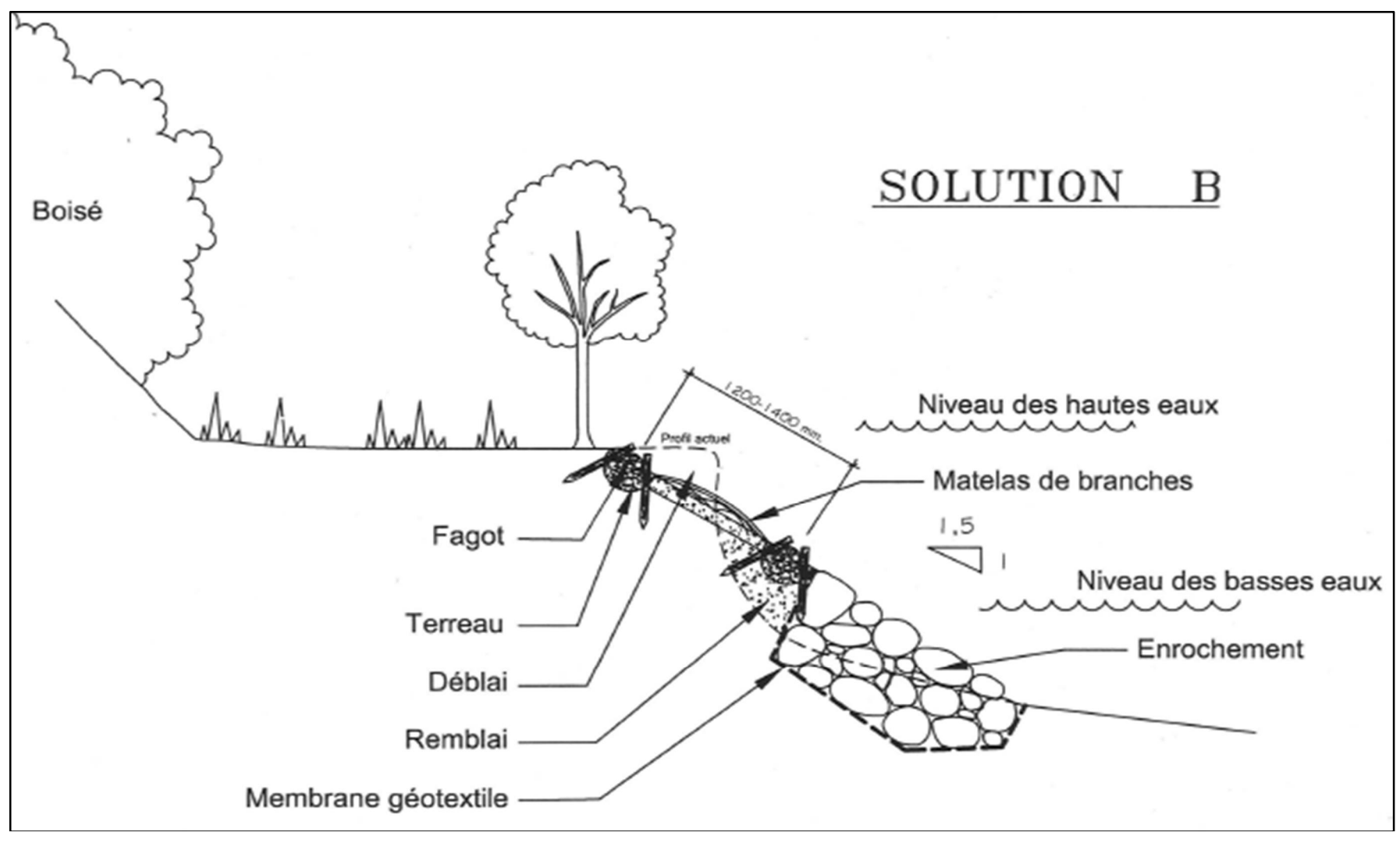


Figure 15:Proposition de solution profil-type 2, source : ÉTUDE SUR L'ÉROSION DES RIVES DES RIVIÈRES LORETTE ET DU CAP ROUGE

RECOMMANDATIONS

A løssu du travail en cours, des tiges dørosion pour localiser quantifier celle - ci devront être ajoutées. Actuellement, quelques tiges sont installées entre les sites « 26 » et « 27 » aux localisations suivantes :

	Tige 1	Tige 2	Tige 3	Tige 4
latitude	12.339389	12.339028	12.336700	12.336400
longitude	-0.778889	-0.779167	-0.787740	-0.789350

Nous proposons que ces tiges dérosion soient installées au niveau des sites 25, 27, 27-1, 33 et 33-1.

Quantifier les apports sédimentaires provenant des berges des retenues et ceux provenant du bassin versant en vue de réorienter les mesures de protection des retenues,

Réfléchir à la végétalisation par le système vétiver combiné à dœutres types de redressement

Le vétiver est efficace à la fois en lui-même et combiné à døautres méthodes traditionnelles. Par exemple, sur une section donnée de berge ou de digue, un enrochement en roche ou en béton peut renforcer la partie sous løeau, et le vétiver peut renforcer la partie supérieure. Cette application en tandem constitue un facteur de stabilité et de sécurité. Le vétiver peut aussi être planté avec le bambou, une plante traditionnellement utilisée pour protéger les berges. Løexpérience montre que løutilisation du seul bambou présente plusieurs désavantages qui peuvent être surmontés par løajout du vétiver.

Dans des conditions moyennes de sol et de pente, løinstallation du vétiver peut accroître la stabilité de la pente døenviron 40%.

Caractéristiques de vétiver adaptées à la stabilisation des talus

- Bien que techniquement il søagisse døune herbacée, les plantes de vétiver utilisées pour les applications de stabilisation des terres se comportent plus comme des arbres ou des arbrisseaux à la croissance rapide. Les racines de vétiver sont, par unité de surfaces, plus fortes et plus profondes que les racines døarbres.
- Le système racinaire extrêmement profond et massif finement structuré du vétiver peut søtendre de deux à trois mètres (six à neuf pieds) en profondeur au cours de la première année. Sur les pentes de remblais, diverses expérimentations montrent que cette plante peut atteindre 3,6 m (12 pieds) en 12 mois. Le système racinaire profond et épais du vétiver se noue au sol, ce qui le rend très difficile à déloger et extrêmement tolérant à la sécheresse.

- ✓ Le vétiver tolère des variations climatiques et environnementales extrêmes, notamment la sécheresse prolongée, løinondation et løimmersion et des températures extrêmes allant de 14° C à 55° C (7° F à 131° F) (Truong et al, 1996).
- ✓ Le vétiver affiche un très haut niveau de tolérance à lœcidité, salinité, sodicité et acide sulfate, et conditions dœcidosulfatés du sol (Le van Du and Truong, 2003).

Caractéristiques spéciales du vétiver adaptées à loatténuation des catastrophes liées à locau

Pour réduire lømpact des catastrophes liées à lœau comme les crues, lærosion des berges et lærosion des côtes et lærosion des barrages et des digues, le vétiver est planté en rangées, soit parallèlement, soit à contrecourant du débit dæau ou de la direction des vagues. Ses caractéristiques uniques sont très utiles :

- ✓ Etant donné la profondeur et la force extraordinaires de sa racine, le vétiver mûr est extrêmement résistant à des débits à forte vitesse. Le vétiver planté au nord du Queensland (Australie) a résisté à une vitesse de débit supérieure à 3,5m/sec (10øsec) døun rivière en crue et, au sud du Queensland, jusquøà 5 m/sec (15øsec) dans un canal de drainage inondé.
- Lorsque le débit est peu profond ou à faible vitesse, les tiges hautes et dures du vétiver agissent comme une barrière qui réduit la vitesse du débit (cœst-à-dire qui augmentent la résistance hydraulique) et piègent les sédiments érodés. En fait, le vétiver peut maintenir sa position verticale dans un débit døune profondeur de 0,6-0,8 m (24-31ö).
- Lorsquœlles sont plantées sur des structures de rétention dœau comme les barrages ou les digues, les haies de vétiver contribuent à réduire la vitesse du débit, à diminuer lœlan des vagues, le déversement et enfin le volume dœau qui sœcoule dans la zone protégée par ces structures.

Son système racinaire profond et vigoureux aide à stabiliser structurellement les pentes tandis que ses pousses dispersent le ruissellement de surface, réduisent légrosion et piègent les sédiments en facilitant la croissance des espèces indigènes.

Caractéristiques hydrauliques

Des tests en canal menés à løuniversité du Sud du Queensland pour étudier la conception et løincorporation de haies de vétiver dans løaménagement de cultures en bande pour løatténuation des crues ont confirmé les caractéristiques hydrauliques des haies de vétiver soumises à de profonds débits. Les haies ont réussi à réduire la vitesse de la crue et à limiter le mouvement du sol; les bandes en jachère ont subi très peu dørosion, et une jeune culture de sorgo a été complètement protégée des dégâts de la crue (Dalton et al, 1996).

Avantages et inconvénients du système vétiver

Avantages	Inconvénients
Løavantage majeur du SV par rapport aux méthodes conventionnelles	Il est difficile de planter et døarroser la végétation sur des pentes
døingénierie est son faible coût et sa longévité	très élevées ou raides
Pour la stabilisation des pentes en Chine, par exemple, lépargne est de	
lørdre de 85-90% (Xie, 1997 et Xia et al, 1999). En Australie, løavantage	Le Système Vétiver nœst efficace que lorsque les plantes sont
lié au coût du SV par rapport aux méthodes conventionnelles døingénierie	bien établies. Une plantation efficace nécessite une période
varie de 64% à 72%, selon la méthode utilisée (Braken and Truong 2001).	détablissement initiale de 2 à 3 mois par temps chaud et 4-6 mois
Son coût maximal ne représente que 30% du coût des mesures	par temps plus frais. Ce retard peut être réglé à condition de
traditionnelles. En outre, les coûts dentretien annuels sont	planter tôt et en saison sèche.
significativement réduits une fois que les haies de vétiver sont établies.	
Comme avec les autres techniques de bio-ingénierie, le SV est un moyen	
naturel, non nuisible à løenvironnement, de lutte contre løérosion et de	Les haies de vétiver ne sont totalement efficaces que lorsque les
stabilisation des terres qui -adoucitø løaspect sévère des structures	plantes forment des rangs serrés.
conventionnelles døingénierie comme les structures en béton et en pierre.	Les vides entre les touffes doivent être replantés en temps
Cela est particulièrement important dans les zones urbaines et semi-	opportun.
rurales où les communautés locales décrient løapparence peu esthétique	
des infrastructures de développement.	

	Le principal inconvénient des applications du SV est løntolérance
Les coûts doentretien à long terme sont faibles. Contrairement aux	de la plante à lømbre, particulièrement lors de sa phase
structures conventionnelles	détablissement. Léombrage partiel nuit à sa croissance ; un
døingénierie, la technologie verte søaméliore au fur et à mesure que la	ombrage important peut løéliminer à long terme en réduisant sa
couverture végétale søinstalle.	capacité à être en compétition avec des espèces plus tolérantes à
Le SV requiert un programme døentretien au cours des deux premières	løombre. Toutefois, cette faiblesse pourrait être souhaitable dans
années ; mais une fois établi, il ne nécessite pratiquement pas dentretien.	des situations où la stabilisation initiale nécessite une plante
Løutilisation du vétiver est par conséquent particulièrement bien adaptée	pionnière pour améliorer la capacité du microenvironnement à
aux zones reculées où læntretien est coûteux et difficile.	accueillir løintroduction døspèces endémiques indigènes
	spontanées ou planifié.
Le vétiver est très efficace dans les sols pauvres et très érodables et sujets	Dans certain cas où il nøy aucune autre végétation, le vétiver
à la dispersion.	nécessite døtre protégé du bétail pendant sa phase
a la dispersion.	døtablissement.
Les haies de vétiver sont une technique naturelle et bio-ingénierie douce ;	
une alternative écologique aux structures rigides ou dures.	

Toujours en guise de recommandations, nous proposons de

Réaliser des évaluations environnementales en vue døidentifier la meilleure méthode de protection des berges,

Etudier les coûts de réalisation des différentes techniques de protection afin de ne retenir que celles qui ont le meilleur ratio coût/efficacité.

CONCLUSION

Au fil du temps, le cours dœau alimentant le barrage de Mogtedo a été pertubé par des changements naturels et des activités anthropiques ce qui a entrainé des problèmes dœrosion. La destruction du couvert végétal (feu de brousse en occurrence) a rendu les rives beaucoup plus vulnérables aux problèmes dœrosion.

La caractérisation des tronçons telle que nous løavons fait, nous a permis dødentifier et de localiser les problèmes dørosion des berges et de proposer les solutions à apporter selon la gravité rencontrée. Ainsi, nous avons étudié en tout 16 tronçons de berges sur une longueur de 18,8 km. Nos résultats montrent quøenvirons 40 % des berges de notre cours dørau alimentant la retenue de Mogtedo sont sujettes à lørosion.

Il est impératif dœffectuer des travaux døaménagement afin de pouvoir protéger le cours dœau alimentant la retenue de Mogtedo. Si rien nœst fait, cette retenue perdra une grande partie de sa capacité de rétention dœau car les berges en amont de celle-ci se dégradent au fil du temps et induiront une perte du disponible en eau ce qui entrainera une baisse de rendement pour les cultures en aval et un ralentissement des activités de tout ce qui en dépends (hommes et bétails).

BIBLIOGRAPHIE

Ouvrages et articles

- Actes du colloque régional sur l'érosion des berges: vers une gestion intégrée des interventions en milieu marin, Baie-Comeau, p. 122-131.
- A. GUINDO, Protection biologique des berges du fleuve Niger comme alternative døadaptation aux changements climatiques, 21 p.
- A. KEITA, 1991. Gestion hydraulique du périmètre de Mogtedo : Proposition døintégration des extensions spontanées. Rapport annuel. 71 p.
- B. Massicotte, L. Côté, S. Bélanger et B-P Harvey. 1996. Guide d'évaluation environnementale des techniques de stabilisation des berges. Présenté au ministère des Pêches et des Océans Canada, Division de la gestion de l'habitat du poisson par Les consultants en environnement Argus Inc. Pag. mult. + annexe.
- B. Lachat et al. Protection des berges de cours d'eau.
- Comité ZIP de la rive nord de l\(\phi\)estuaire. 2003. Guide de construction \(\phi\) Syst\(\phi\)me d\(\phi\)epis pour la restauration de la plage \(\phi\) Protection des berges par la restauration de plage contre l\(\phi\)erosion du littoral (bas\(\phi\) sur le mod\(\phi\)le d\(\epsi\)velopp\(\phi\) par MM. Maltais et Savard (SEMS)). Baie-Comeau. 28 pages.
- D. Diallo, E. Roose, B. Barthès, 2002. Comparaison døun test simple dørodibilité des sols et de mesures sur parcelles dørosion des bassins versants de Djitiko (Mali).
- Évaluation du risque d'érosion du littoral de la Côte-Nord du Saint-Laurent pour la période de 1996-2003. Conférence régionale des élus de la Côte-Nord, 291 pages.
- F. Morneau. 1999. Modèle d'analyse visant la gestion intégrée des zones côtières.
- Guyon, F., J. Moy, X. Cogels et P. Vanderborght, 2005. Evaluation globale de la qualité hydromorphologique des masses dœau définies en Région wallonne. Adaptation de la méthodologie Qualphy et mise au point dœun système dœvaluation de la qualité physique des masses dœau de surface en Région wallonne. Rapport final au Ministère de la Région wallonne, Direction des Eaux de Surface, Département des Sciences et Gestion de loEnvironnement de loUniversité de Liège.
- J-C. Dionne. 1999. L'érosion des rives du Saint-Laurent, vue d'ensemble et état de la question.
 Actes du colloque régional sur l'érosion des berges: vers une gestion intégrée des interventions en milieu marin, Baie-Comeau, p. 2-19.

- J-É Turcotte et M-P Ouellon. 2002. Rapport final Érosion des berges MRC de Sept-Rivières.
 Présenté à la Corporation de Protection de l'Environnement de Sept-Îles (CPESI) par Turcotte
 Ouellon Géomorphologie Environnement. 125 pages.
- J-M M. Dubois. 1999. Dynamique de l'érosion littorale sur la Côte-Nord du Saint-Laurent. Actes du Colloque régional sur l'érosion des berges : vers une gestion intégrée des interventions en milieu marin, Baie-Comeau, p. 20-52.
- Laboratoire sols et matériaux, Ecole Inter-Etats des Ingénieurs de lø Equipement Rural. Etudes géotechniques. Décembre 1991. Projet du barrage de Mogtedo.
- M. Mietton; 1988. Méthodes et efficacité de la lutte contre légrosion hydrique au Burkina Faso.
- Ministère des Pêches et des Océans, direction générale des océans. 2002. La stratégie sur les océans du Canada - Cadre opérationnel pour la gestion intégrée. Ottawa. 39 pages.
- Paul Truong, Tran Tan Van et Elise Pinners, 2009, APPLICATION DU SYSTÈME VETIVER,
 103 p.
- R. Paskoff. 1985. Les littoraux Impacts des aménagements sur leur évolution, 3ème édition.
 Masson et Armand Colin Éditeurs. Paris. 260 pages.

Sites internet

- <u>www.agirpourladiable.org/liens/depliant_embarcation_motorisee.pdf</u>
- www.agrireseau.qc.ca/agroenvironnement/.../Berges_FR_web
- www.aquaterra-solutions.fr/pdf/guides ats
- www.aquaterra-solutions.fr/pdf/guides_ats/GUIDEATS-CHAP2
- www.corela.org/publications/plaquettes/.../200608TechniquesVegetales
- www.obvcapitale.org/.../Ecogénie_%20Étude_sur_lérosion_des_rives
- www.sepag.com/dotAsset/21014
- <u>bttp://assembly.coe.intidocuments/workingdocs/doc03/fdoc9981.htm</u> (consulté le 8, janvier 2010).

ANNEXES

Tableau 14: Pourcentages des types de profil des berges du cours d'eau principal en amont de la retenue de Mogtedo

Site	Largeur moyenne du cours d'eau (m)	Type de profil								
			Rive (Gauche			Rive	droite		
		Type1	Type2	Type3	Type4	Type1	Type2	Type3	Type4	
Site 25	3,9	0,00%	20,00%	80,00%	0,00%	0,00%	0,00%	40,00%	60,00%	
Site 26	7	0,00%	0,00%	90,00%	10,00%	0,00%	0,00%	90,00%	10,00%	
Site 26-1	8,8	0,00%	0,00%	20,00%	80,00%	0,00%	0,00%	20,00%	80,00%	
Site 27	14	0,00%	0,00%	0,00%	100,00%	0,00%	0,00%	0,00%	100,00%	
Site 27-1	10,5	0,00%	0,00%	10,00%	90,00%	0,00%	0,00%	0,00%	100,00%	
Site 28	8,3	0,00%	0,00%	90,00%	10,00%	0,00%	0,00%	90,00%	10,00%	
Site 28-1	11,85	0,00%	0,00%	60,00%	40,00%	0,00%	30,00%	70,00%	0,00%	
Site 29	4	0,00%	0,00%	90,00%	10,00%	0,00%	0,00%	90,00%	10,00%	
Site 33	7,3	0,00%	0,00%	10,00%	90,00%	0,00%	0,00%	10,00%	90,00%	
Site 33-1	5,8	0,00%	0,00%	90,00%	10,00%	0,00%	30,00%	0,00%	70,00%	
Site 30	14,5	0,00%	0,00%	80,00%	20,00%	0,00%	0,00%	80,00%	20,00%	
Site 30-1	6,5	0,00%	0,00%	70,00%	30,00%	0,00%	0,00%	90,00%	10,00%	
Site 31	4,7	0,00%	0,00%	90,00%	10,00%	0,00%	0,00%	90,00%	10,00%	
Site 31-1	4,4	0,00%	0,00%	10,00%	90,00%	0,00%	10,00%	30,00%	70,00%	
Site 34	9,65	0,00%	0,00%	10,00%	90,00%	0,00%	10,00%	10,00%	80,00%	
Site 34-1	12,9	0,00%	30,00%	70,00%	0,00%	0,00%	10,00%	90,00%	0,00%	

Tableau 15:Pourcentages des types de dynamique des berges du cours d'eau principal en amont de la retenue de Mogtedo

Site	Largeur moyenne du cours d'eau (m)	Type de dynamique de berge									
			Ri	ve Gauc	he			R	ive droit	e	
		Type1	Type2	Type3	Type4	Type5	Type1	Type2	Type3	Type4	Type5
Site 25	3,9	0,00%	0,00%	30,00%	70,00%	0,00%	0,00%	70,00%	30,00%	0,00%	0,00%
Site 26	7	0,00%	100,00%	0,00%	0,00%	0,00%	0,00%	100,00%	0,00%	0,00%	0,00%
Site 26-1	8,8	0,00%	90,00%	0,00%	10,00%	0,00%	0,00%	90,00%	0,00%	10,00%	0,00%
Site 27	14	0,00%	60,00%	20,00%	20,00%	0,00%	0,00%	50,00%	40,00%	10,00%	0,00%
Site 27-1	10,5	0,00%	0,00% 80,00% 0,00% 20,00% 0,00%					90,00%	10,00%	0,00%	0,00%
Site 28	8,3	0,00%	100,00%	0,00%		0,00%	0,00%	100,00%	0,00%	0,00%	0,00%
Site 28-1	11,85	80,00%	0,00%	0,00%	20,00%	0,00%	90,00%	0,00%	0,00%	0,00%	10,00%
Site 29	4	0,00%	80,00%	0,00%	20,00%	0,00%	0,00%	80,00%	0,00%	20,00%	0,00%
Site 33	7,3	0,00%	80,00%	0,00%	20,00%	0,00%	0,00%	80,00%	10,00%	10,00%	0,00%
Site 33-1	5,8	0,00%	80,00%	0,00%	20,00%	0,00%	0,00%	80,00%	10,00%	10,00%	0,00%
Site 30	14,5	0,00%	90,00%	0,00%	10,00%	0,00%	0,00%	90,00%	0,00%	10,00%	0,00%
Site 30-1	6,5	0,00%	80,00%	0,00%	20,00%	0,00%	0,00%	90,00%	0,00%	10,00%	0,00%
Site 31	4,7	0,00%	0,00%	0,00%	10,00%	90,00%	0,00%	0,00%	0,00%	10,00%	90,00%
Site 31-1	4,4	0,00%	90,00%	0,00%	10,00%	0,00%	70,00%	20,00%	0,00%	10,00%	0,00%
Site 34	9,65	0,00%	90,00%	0,00%	10,00%	0,00%	0,00%	90,00%	0,00%	10,00%	0,00%
Site 34-1	12,9	90,00%	0,00%	0,00%	10,00%	0,00%	90,00%	0,00%	0,00%	10,00%	0,00%

Tableau 16:Pourcentages des types de végétation des berges du cours d'eau principal en amont de la retenue de Mogtedo

Site	Largeur moyenne du cours d'eau (m)	Type de végétation des berges									
			Ri	ve Gaucl	he			I	Rive droi	ite	
		Type1	Type2	Type3	Type4	Type5	Type1	Type2	Type3	Type4	Type5
Site 25	3,9	0,00%	0,00%	30,00%	0,00%	70,00%	0,00%	0,00%	30,00%	0,00%	70,00%
Site 26	7	0,00%	0,00%	0,00%	80,00%	20,00%	0,00%	0,00%	0,00%	80,00%	20,00%
Site 26-1	8,8	0,00%	0,00%	5,00%	0,00%	95,00%	0,00%	0,00%	5,00%	0,00%	95,00%
Site 27	14	0,00%	90,00%	0,00%	0,00%	10,00%	0,00%	90,00%	10,00%	0,00%	0,00%
Site 27-1	10,5	0,00%	0,00% 0,00% 10,00% 0,00% 90,00%					0,00%	0,00%	0,00%	100,00%
Site 28	8,3	60,00%	0,00%	0,00%	0,00%	40,00%	60,00%	0,00%	0,00%	0,00%	40,00%
Site 28-1	11,85	40,00%	0,00%	20,00%	0,00%	40,00%	0,00%	0,00%	20,00%	0,00%	80,00%
Site 29	4	0,00%	30,00%	0,00%	0,00%	70,00%	0,00%	0,00%	40,00%	0,00%	60,00%
Site 33	7,3	0,00%	0,00%	0,00%	0,00%	100,00%	0,00%	0,00%	0,00%	0,00%	100,00%
Site 33-1	5,8	10,00%	0,00%	10,00%	0,00%	80,00%	10,00%	0,00%	0,00%	0,00%	90,00%
Site 30	14,5	0,00%	0,00%	10,00%	0,00%	90,00%	0,00%	0,00%	0,00%	0,00%	100,00%
Site 30-1	6,5	0,00%	0,00% 0,00% 60,00% 0,00% 40,00% 0,00% 0,00% 60,00% 0,00% 40,00%							40,00%	
Site 31	4,7	10,00% 0,00% 0,00% 0,00% 90,00% 10,00% 0,00% 0,00% 0,00% 90,0							90,00%		
Site 31-1	4,4	10,00%	0,00%	0,00%	0,00%	90,00%	10,00%	0,00%	0,00%	0,00%	90,00%
Site 34	9,65	0,00%	0,00%	0,00%	0,00%	100,00%	10,00%	0,00%	0,00%	0,00%	90,00%
Site 34-1	12,9	0,00%	0,00%	0,00%	0,00%	100,00%	0,00%	0,00%	0,00%	0,00%	100,00%

Tableau 17: Types de matériaux des berges du cours d'eau principal en amont de la retenue de Mogtedo

Site	Largeur moyenne du cours d'eau (m)					
		Rive	Gauche	Rive droite		
		Dominant	Secondaire	Dominant	Secondaire	
Site 25	3,9	A	L	A	L	
Site 26	7	A		A		
Site 26-1	8,8	A	L	A	L	
Site 27	14	A	L	A	L	
Site 27-1	10,5	A	L	A	L	
Site 28	8,3	A		A		
Site 28-1	11,85	A		A		
Site 29	4	A		A		
Site 33	7,3	A		A		
Site 33-1	5,8	A	L	A	L	
Site 30	14,5	L	A	L	A	
Site 30-1	6,5	L	A	L	A	
Site 31	4,7	A	L	A	L	
Site 31-1	4,4	A	L	A	L	
Site 34	9,65	A	L	A	L	
Site 34-1	12,9	A		A		

Tableau 18: Itinéraire suivi le long du cours d'eau principal en amont de la retenue de Mogtedo

Itinéraire : 25 à 32 30/05/2013

	5	5 1.		5			5
	Directions/Nom	Distance	Longueur de l'étape	Durée de l'étape	Temps total	Route désirée	Position
1.	25	0 m			0:00:00		N12 26.018 W0 42.505
2.	26	2.9 km	2.9 km		0:00:00	179° Vrai	N12 24.461 W0 42.474
3.	26-1	3.9 km	1.0 km		0:00:00	205° Vrai	N12 23.958 W0 42.716
4.	NEW 27	5.1 km	1.2 km		0:00:00	193° Vrai	N12 23.341 W0 42.856
5.	27-1	6.5 km	1.4 km		0:00:00	208° Vrai	N12 22.653 W0 43.233
6.	NEW 28	6.9 km	390 m		0:00:00	185° Vrai	N12 22.443 W0 43.251
7.	28-A	8.3 km	1.3 km		0:00:00	216° Vrai	N12 21.862 W0 43.691
8.	29	9.8 km	1.5 km		0:00:00	213° Vrai	N12 21.164 W0 44.157
9.	33	11.1 km	1.3 km		0:00:00	188° Vrai	N12 20.485 W0 44.261
10.	33-A	12.0 km	938 m		0:00:00	259° Vrai	N12 20.392 W0 44.770
11.	NEW30	12.9 km	848 m		0:00:00	254° Vrai	N12 20.262 W0 45.219
12.	30-1	13.6 km	754 m		0:00:00	289° Vrai	N12 20.393 W0 45.612
13.	31	14.8 km	1.2 km		0:00:00	269° Vrai	N12 20.385 W0 46.267
14.	31-A	16.1 km	1.3 km		0:00:00	329° Vrai	N12 20.964 W0 46.629
15.	NEW 34	17.8 km	1.8 km		0:00:00	218° Vrai	N12 20.215 W0 47.231
16.	34-1	18.8 km	951 m		0:00:00	263° Vrai	N12 20.156 W0 47.752
17.	32	20.7 km	1.9 km		0:00:00	223° Vrai	N12 19.389 W0 48.485

Fiche de terrain

TYPE DE PROFIL		TYPE DE MATERIAUX DE BERGE		TYPE DE DYNAMIQUE DE BERGES		TYPE DE VEGETATION DES BERGES	
P1	0 à 45°	Α	Argile	TE1	Berges stables	TV1	Herbacée éparse
P2	45 à 70°	L	Limon	TE2	Berges verticales instables	TV2	Herbacée dense
P3	70 à 90°	S	Sable	TE3	Affouillement du pied de berge	TV3	Ligneux éparse
P4	Berges composées	G	Gravier	TE4	Présence de début de ravines, de griffes, d'anses d'érosion, õ	TV4	Ligneux dense
		C	Cailloux	TE5	Glissement / Effondrement	TV5	Sol nu
		Р	Pierre				

Date	Nom de lænquêteur		
Code station	Code Waypoint Amont	Code Waypoint Aval	
Longueur station	Largeur moyenne du cours dœau au plein bord (m)	Référence Photo	

Importanc			de profil de berge éaire de la station du type de profil	Type de matériau de berges		
	RG RD Commentaire				RG	RD
Type 1				Dominant		
Type 2				Secondaire		
Type 3				Anecdotique		
Type 4						

	Туре	de dyna	amique de berges	Type de végétation de berges			
Import	néaire de la station du type érosion	Importance en % de linéaire de la station du type de végétation					
	RG	RD	Commentaire		RG	RD	Commentaire
Type 1				Type 1			
Type 2				Type 2			
Type 3				Type 3			
Type 4				Type 4			
Type 5				Type 5			

Dégradation des berges de anthropique						
	RG	RD	Commentaire (ref. WP, Photosõ)			
Extraction de sable						
Production de briques						
Seuils dans le lit mineur						
Gabions, empierrement						
Passage du bétail						
Autres (à préciser)						

Tableau 19: Effets physiques généraux de la végétation sur la stabilité des pentes

Effet Caractéristiques physiques	Effet Caractéristiques physiques						
Avantages							
Renforcement des racines, voûtage du sol, soutient, ancrage, arrêt la chute de rochers par des arbres	Ratio de la masse racinaire, distribution et morphologie des racines ; force ductile des racines ; espacement, diamètre et enfouissage des arbres, épaisseur et inclinaison des strates élastiques ; propriétés de résistance de cisaillement des sols						
Pénurie de l'humidité du sol et augmentation de la tension capillaire ? by root uptake and transpiration	Teneur du sol en humidité ; niveau de la nappe souterraine; pression de pore/tension capillaire						
Interception des pluies par le feuillage, notamment des pertes par évaporation	Précipitations nettes sur les pentes						
Augmentation de la résistance hydraulique dans les canaux d'irrigation et de drainage	Coefficient Manning						
Inco	onvénients						
Coincement des racines par les blocs de rocher près de la surface et arrachage par les cyclones	Ratio de masse racinaire, distribution et morphologie						
Surcharge de la pente par de grands arbres lourds (parfois avantageux selon les situations)	Poids moyen de la végétation						
Charge exercée par le vent	Le design en fonction de la vitesse de vent provenant de løautre sens; hauteur moyenne des arbres adultes pour les groupes d'arbres						
Maintien de la capacité d'infiltration	Variation de la teneur en eau du sol avec la profondeur						

Tableau 20: Diamètre et force ductile de la racine de différentes herbes

Plants	Diamètre moyen des racines (mm)	Force ductile moyenne (MPa)		
Late Juncellus	0,38±0,43	24,50±4,2		
Paspalum dilatatum	0,92±0,28	19,74±3,00		
Trèfle blanc	0,91±0,11	24,64±3,36		
Vétiver	0,66±0,32	85,10±31,2		
Eremochloa ophiuroides	0,66±0,05	27,30±1,74		
Herbe de Bahia	0,73±0,07	19,23±3,59		
Gazon de Manille	0,77±0,67	17,55±2,85		
Herbe des Bermudes	0,99±0,17	13,45±2,18		

QUELQUES PHOTOS PRISES LORS DE LA DESCENTE DU TERRAIN



Figure 16: Photo du site 28-A, rive gauche. Source: Caleb DJANTENG février 2013



Figure 17: Photo du site 31-A rive gauche. Source: Caleb DJANTENG février 2013



Figure 19: Photo du site 31-A rive gauche. Source: Caleb DJANTENG février 2013



Figure 18: Photo de la manifestation de lorrosion sur un ponceau. Source: Caleb DJANTENG février 2013



Figure 20: Forme du cours dœau à lœapproche du barrage. Source: Caleb DJANTENG février 2013



Figure 21: Cours dœau à lœpproche du barrage. Source: Caleb DJANTENG février 2013



Figure 22: les racines de vétiver renforcent ce barrage ont empêché qual soit emporté par les crues